

РОЖДЕНИЕ ТЯЖЕЛЫХ КВАРКОНИЕВ  
В РЕДЖЕВСКОМ ПРЕДЕЛЕ КВАНТОВОЙ  
ХРОМОДИНАМИКИ

*Д. В. Васин* \*, *В. А. Салеев*\*\*

Самарский государственный университет, Самара, Россия

ВВЕДЕНИЕ	1212
ФОРМАЛИЗМ НРКХД	1214
РОЖДЕНИЕ ТЯЖЕЛЫХ КВАРКОНИЕВ В КОЛЛИНЕАРНОЙ ПАРТОННОЙ МОДЕЛИ	1217
ПОДХОД КВАЗИМУЛЬТИРЕДЖЕВСКОЙ КИНЕМАТИКИ	1223
РОЖДЕНИЕ ТЯЖЕЛЫХ КВАРКОНИЕВ ПРИ СЛИЯНИИ РЕ- ДЖЕЗОВАННЫХ ГЛЮОНОВ	1227
РОЖДЕНИЕ ТЯЖЕЛЫХ КВАРКОНИЕВ НА КОЛЛАЙДЕРЕ ТЭВАТРОН	1232
РОЖДЕНИЕ ТЯЖЕЛЫХ КВАРКОНИЕВ НА КОЛЛАЙДЕРЕ LHC	1243
ЗАКЛЮЧЕНИЕ	1246
СПИСОК ЛИТЕРАТУРЫ	1247

---

\*E-mail: [vasin@ssu.samara.ru](mailto:vasin@ssu.samara.ru)

\*\*E-mail: [saleev@ssu.samara.ru](mailto:saleev@ssu.samara.ru)

## РОЖДЕНИЕ ТЯЖЕЛЫХ КВАРКОНИЕВ В РЕДЖЕВСКОМ ПРЕДЕЛЕ КВАНТОВОЙ ХРОМОДИНАМИКИ

*Д. В. Васин*\*, *В. А. Салеев*\*\*

Самарский государственный университет, Самара, Россия

В рамках нерелятивистской квантовой хромодинамики в лидирующем порядке по  $\alpha_s$  и  $v$  рассмотрено адронное рождение тяжелых кваркониев ( $c\bar{c}$ ,  $b\bar{b}$ ) при энергиях коллайдеров тэватрон (I и II этапы работы) и ЛНС в подходе квазимультiredжевской кинематики. Проведено фитирование  $p_T$ -спектров различных  $S$ - и  $P$ -волновых состояний тяжелых кваркониев при энергиях коллайдера тэватрон (I и II стадии работы). Полученный набор октетных непертурбативных матричных элементов использован для предсказания выхода тяжелых кваркониев при энергиях коллайдера ЛНС. Полученные в подходе квазимультiredжевской кинематики результаты сравниваются с предсказаниями коллинеарной партонной модели.

We study heavy quarkonium ( $c\bar{c}$ ,  $b\bar{b}$ ) production at the Tevatron (run I and run II) and LHC energies in the framework of nonrelativistic quantum chromodynamics at leading order in the strong-coupling constant  $\alpha_s$  and the relative velocity  $v$  using the quasimulti-Regge kinematics approach. The fit of the  $p_T$ -spectra of different  $S$ - and  $P$ -wave heavy quarkonium states at the energies of the Tevatron (run I and run II) was performed. The obtained set of the nonperturbative long-distance matrix elements was used for prediction of heavy quarkonium production rates at the energy of LHC collider. The results obtained in the quasimulti-Regge kinematics approach are compared with predictions of the collinear parton model.

PACS: 12.38.-t, 12.40.Nn, 13.85.Ni, 14.40.Gx

### ВВЕДЕНИЕ

Процессы рождения тяжелых кваркониев ( $c\bar{c}$ ,  $b\bar{b}$ ) при высоких энергиях в  $p\bar{p}$ -взаимодействиях на коллайдерах тэватрон [1–4] и ЛНС представляют значительный интерес для проверки реджевского предела квантовой хромодинамики (КХД), а также для изучения относительной роли пертурбативных и непертурбативных эффектов КХД в процессах адронизации тяжелых кварков.

Хорошо известно, что в процессах рождения тяжелых кваркониев в столкновениях протонов при высоких энергиях доминирующую роль играет

---

\*E-mail: vasin@ssu.samara.ru

\*\*E-mail: saleev@ssu.samara.ru

глюон-глюонное слияние. Взаимодействие в начальном состоянии в случае рассматриваемых процессов описывается в рамках моделей, основанных на теории возмущений КХД. В коллинеарной партонной модели (КПМ) [5] динамика глюонов в начальном состоянии описывается уравнением Докшицера–Грибова–Липатова–Алтарелли–Паризи (ДГЛАП) [6] в предположении, что  $S > \mu^2 \gg \Lambda_{\text{QCD}}^2$ , где  $\sqrt{S}$  — полная энергия сталкивающихся протонов, а  $\mu$  — характерный масштаб жесткого процесса. При этом в уравнении эволюции ДГЛАП в лидирующем логарифмическом приближении (ЛЛП) учтен лишь вклад больших логарифмов типа  $\log(\mu/\Lambda_{\text{QCD}})$  и используется коллинеарное приближение, при котором начальные глюоны не имеют поперечного импульса относительно оси реакции.

При высоких энергиях, в так называемом реджевском ( $S \gg |t| \sim \mu^2$ ) пределе, начинают доминировать процессы с обменом глюоном в  $t$ -канале, поэтому в рамках ЛЛП необходимо учитывать вклады больших логарифмов нового типа  $\log(\sqrt{S}/\mu)$ , что приводит к неколлинеарной динамике глюонов, которая описывается уравнением эволюции Балицкого–Фадина–Кураева–Липатова (БФКЛ) [7]. При этом необходимо учитывать поперечный импульс и виртуальность взаимодействующих  $t$ -канальных глюонов. Учет этих эффектов может быть выполнен в подходе квазимультiredжевской кинематики (КМРК) [8], который основан на эффективной квантово-полевой теории с неабелевым калибровочным взаимодействием [9, 10], являющейся высокоэнергетическим пределом КХД.

В последнее десятилетие для описания процессов распада и рождения тяжелых кваркониев был развит формализм, основанный на нерелятивистской КХД (НРКХД) [11], который позволяет представить сечение рождения кваркония в партонном подпроцессе как сумму членов, в которых факторизуются жесткие амплитуды рождения тяжелых кварков и непертурбативные матричные элементы (НМЭ), описывающие переход системы  $(Q\bar{Q})$  в конечный кварконий. НРКХД является пертурбативной теорией с двумя малыми параметрами:  $\alpha_s$  — константа сильного взаимодействия на масштабе массы тяжелого кварка и  $v$  — относительная скорость тяжелых кварков в кварконии.

Отметим, что рождение кваркониев при энергиях  $p\bar{p}$ -коллайдера тэватрон изучалось ранее на основе КПМ (см., например, обзоры [12–14]) и в подходе  $k_T$ -факторизации [15–17], который концептуально близок к подходу КМРК, но является в большей степени феноменологическим приближением [18]. В частности, в подходе  $k_T$ -факторизации имеются принципиальные трудности с расчетами в следующем порядке теории возмущений по  $\alpha_s$  [19]. В то же время в подходе КМРК, как показано в работах [8, 20], проблема расчета следующих по  $\alpha_s$  поправок к сечению процессов может быть решена.

В настоящей работе в подходе КМРК проведен последовательный анализ процессов адронного рождения тяжелых кваркониев в рамках лидирующего

приближения по  $\alpha_s$  и  $v$  в НРКХД. Полученные результаты сравниваются с предсказаниями КПМ. Учет поправок в следующем по  $\alpha_s$  порядке теории возмущений лежит за пределами данной работы и будет проведен в будущем.

## 1. ФОРМАЛИЗМ НРКХД

На основе НРКХД сечение рождения тяжелого кваркония  $\mathcal{H}$  в партон-партонном взаимодействии  $\hat{\sigma}(a + b \rightarrow \mathcal{H} + X)$  может быть представлено как сумма членов, в которых факторизуются коэффициенты, определяемые физикой жесткого взаимодействия, и НМЭ, описывающие эффекты физики больших расстояний [11]:

$$d\hat{\sigma}(\mathcal{H}) = \sum_n d\hat{\sigma}(Q\bar{Q}[n])\langle\mathcal{O}^{\mathcal{H}}[n]\rangle. \quad (1)$$

Здесь  $n$  обозначает набор цветовых, спиновых и орбитальных квантовых чисел  $Q\bar{Q}$ -пары, сечение рождения которой равно  $\hat{\sigma}(Q\bar{Q}[n])$ . Непертурбативный переход  $Q\bar{Q}$ -пары в конечный кварконий  $\mathcal{H}$  описывается НМЭ  $\langle\mathcal{O}^{\mathcal{H}}[n]\rangle$ , который может быть рассчитан в рамках непертурбативных методов КХД или извлечен из экспериментальных данных.

Например, в случае рождения  $S$ -волнового тяжелого кваркония  $J/\psi$  ( $\psi(1S)$ ) волновая функция физического триплетного состояния может быть представлена как суперпозиция фоковских состояний:

$$|J/\psi\rangle = \mathcal{O}(v^0)|Q\bar{Q}[{}^3S_1^{(1)}]\rangle + \mathcal{O}(v^1)|Q\bar{Q}[{}^3P_J^{(8)}]g\rangle + \\ + \mathcal{O}(v^2)|Q\bar{Q}[{}^3S_1^{(1,8)}]gg\rangle + \mathcal{O}(v^2)|Q\bar{Q}[{}^1S_0^{(8)}]g\rangle + \dots, \quad (2)$$

где для определения квантовых чисел  $Q\bar{Q}$ -пары используются обычные спектроскопические обозначения, а верхние индексы (1, 8) в круглых скобках обозначают синглетное или октетное по цвету состояние.

В модели цветовых синглетов (МЦС) [21] в разложении (2) учитывается только первое слагаемое  $\sim v^0$ . В этом случае НМЭ для  $S$ -волновых кваркониев  $\langle\mathcal{O}^{\mathcal{H}}[{}^3S_1^{(1)}]\rangle$  напрямую связан с квадратом модуля волновой функции кваркония в нуле  $|\Psi(0)|^2$ , который может быть рассчитан в рамках потенциальной кварковой модели [22]:

$$\langle\mathcal{O}^{\mathcal{H}}[{}^3S_1^{(1)}]\rangle = 2N_c(2J + 1)|\Psi(0)|^2, \quad (3)$$

где  $N_c = 3$  и  $J = 1$ .

Аналогично для  $P$ -волновых кваркониев имеем

$$\langle\mathcal{O}^{\mathcal{H}}[{}^3P_J^{(1)}]\rangle = 2N_c(2J + 1)|\Psi'(0)|^2, \quad (4)$$

где  $|\Psi'(0)|^2$  — квадрат модуля производной волновой функции  $P$ -волнового кваркония  $\mathcal{H}$  в нуле.

В общем случае сечение рождения кваркония  $\mathcal{H}$  через образование  $Q\bar{Q}$ -пары с квантовыми числами  $n = {}^{2S+1}L_J^{(1,8)}$  связано с сечением рождения состояния  $[n]$  в жестком подпроцессе и НМЭ перехода  $\langle \mathcal{O}^{\mathcal{H}}[{}^{2S+1}L_J^{(1,8)}] \rangle$  следующим образом [11, 23]:

$$\begin{aligned} \hat{\sigma}(a + b \rightarrow Q\bar{Q}[{}^{2S+1}L_J^{(1,8)}] \rightarrow \mathcal{H}) &= \\ &= \hat{\sigma}(a + b \rightarrow Q\bar{Q}[{}^{2S+1}L_J^{(1,8)}]) \frac{\langle \mathcal{O}^{\mathcal{H}}[{}^{2S+1}L_J^{(1,8)}] \rangle}{N_{\text{col}} N_{\text{pol}}}. \end{aligned} \quad (5)$$

В случае синглетного по цвету состояния  $N_{\text{col}} = 2N_c$ , а в случае октетного  $N_{\text{col}} = N_c^2 - 1$ ,  $N_{\text{pol}} = 2J + 1$ .

Амплитуда рождения  $Q\bar{Q}$ -пары в состоянии  $[n] = [{}^{2S+1}L_J^{(1,8)}]$  может быть получена в результате проецирования амплитуды рождения  $Q\bar{Q}$ -пары с произвольными квантовыми числами.

Проекторы на состояние со значением спина  $S = 0$  и  $S = 1$ , соответственно, имеют следующий вид [24]:

$$\Pi_0 = \frac{1}{\sqrt{8m^3}} \left( \frac{\hat{p}}{2} - \hat{q} - m \right) \gamma_5 \left( \frac{\hat{p}}{2} + \hat{q} + m \right), \quad (6)$$

$$\Pi_1^\alpha = \frac{1}{\sqrt{8m^3}} \left( \frac{\hat{p}}{2} - \hat{q} - m \right) \gamma^\alpha \left( \frac{\hat{p}}{2} + \hat{q} + m \right), \quad (7)$$

где  $\hat{p} = \gamma^\alpha p_\alpha$ ,  $p_\alpha$  — 4-импульс  $Q\bar{Q}$ -пары;  $\hat{q} = \gamma^\alpha q_\alpha$ ,  $q_\alpha$  — 4-импульс относительного движения тяжелых кварков;  $m = M/2$  — масса тяжелого кварка;  $M$  — масса тяжелого кваркония.

Амплитуды рождения  $Q\bar{Q}$ -пары в синглетном и октетном по цвету состоянии получают сверткой исходной амплитуды с проекционными операторами:

$$C_1 = \frac{\delta_{ij}}{\sqrt{N_c}}, \quad (8)$$

$$C_8 = \sqrt{2} T_{ij}^a, \quad (9)$$

где  $T_{ij}^a$  — генераторы калибровочной группы  $SU(3)$ ,  $a = 1, \dots, N_c^2 - 1$ .

Проецирование на состояние с определенным значением орбитального момента  $L$   $Q\bar{Q}$ -пары выполняется путем  $L$ -кратного дифференцирования амплитуды, спроецированной на требуемое спиновое и цветовое состояние, по 4-импульсу относительного движения кварков, затем  $q$  полагается равным

нулю. Для интересующих нас случаев с  $L = 0$  и  $L = 1$  можно записать:

$$\mathcal{A}(a + b \rightarrow Q\bar{Q}[{}^1S_0^{(1,8)}]) = \text{Tr} [C_{1,8}\Pi_0\mathcal{A}(a + b \rightarrow Q\bar{Q})] \Big|_{q=0}, \quad (10)$$

$$\mathcal{A}(a + b \rightarrow Q\bar{Q}[{}^3S_1^{(1,8)}]) = \text{Tr} [C_{1,8}\Pi_1^\alpha\mathcal{A}(a + b \rightarrow Q\bar{Q})\varepsilon_\alpha(J_z, p)] \Big|_{q=0}, \quad (11)$$

$$\mathcal{A}(a + b \rightarrow Q\bar{Q}[{}^3P_J^{(1,8)}]) = \frac{d}{dq_\beta} \text{Tr} [C_{1,8}\Pi_1^\alpha\mathcal{A}(a + b \rightarrow Q\bar{Q})\varepsilon_{\alpha\beta}^{(J)}(J_z, p)] \Big|_{q=0}, \quad (12)$$

$$\mathcal{A}(a + b \rightarrow Q\bar{Q}[{}^1P_1^{(1,8)}]) = \frac{d}{dq_\beta} \text{Tr} [C_{1,8}\Pi_0\mathcal{A}(a + b \rightarrow Q\bar{Q})\varepsilon_\beta(J_z, p)] \Big|_{q=0}, \quad (13)$$

где  $\mathcal{A}(a + b \rightarrow Q\bar{Q})$  — стандартная КХД-амплитуда рождения  $Q\bar{Q}$ -пары с «ампутированными» кварковыми линиями спиноров.

Суммирование по поляризациям кваркония в конечном состоянии можно осуществить при помощи вспомогательного тензора

$$\mathcal{P}_{\alpha\beta}(p) = -g_{\alpha\beta} + \frac{p_\alpha p_\beta}{M^2}. \quad (14)$$

Так, суммирование по поляризациям в случае состояний  $[{}^3S_1^{(1,8)}]$  и  $[{}^1P_1^{(1,8)}]$ , описываемых 4-векторами поляризации  $\varepsilon_\alpha(J_z, p)$ , приводит к следующему выражению:

$$\sum_{J_z} \varepsilon_\alpha(J_z, p)\varepsilon_{\alpha'}^*(J_z, p) = \mathcal{P}_{\alpha\alpha'}(p). \quad (15)$$

В случае  $[{}^3P_J^{(1,8)}]$ -состояний, для  $J = 0, 1$  и  $2$ , соответствующие тензоры поляризации после суммирования по проекции  $J_z$  сворачиваются по правилам:

$$\varepsilon_{\alpha\beta}^{(0)}(0, p)\varepsilon_{\alpha'\beta'}^{(0)*}(0, p) = \frac{1}{3}\mathcal{P}_{\alpha\beta}(p)\mathcal{P}_{\alpha'\beta'}(p), \quad (16)$$

$$\sum_{J_z} \varepsilon_{\alpha\beta}^{(1)}(J_z, p)\varepsilon_{\alpha'\beta'}^{(1)*}(J_z, p) = \frac{1}{2}(\mathcal{P}_{\alpha\alpha'}(p)\mathcal{P}_{\beta\beta'}(p) - \mathcal{P}_{\alpha\beta'}(p)\mathcal{P}_{\alpha'\beta}(p)), \quad (17)$$

$$\begin{aligned} \sum_{J_z} \varepsilon_{\alpha\beta}^{(2)}(J_z, p)\varepsilon_{\alpha'\beta'}^{(2)*}(J_z, p) = & \frac{1}{2}(\mathcal{P}_{\alpha\alpha'}(p)\mathcal{P}_{\beta\beta'}(p) + \mathcal{P}_{\alpha\beta'}(p)\mathcal{P}_{\alpha'\beta}(p)) - \\ & - \frac{1}{3}\mathcal{P}_{\alpha\beta}(p)\mathcal{P}_{\alpha'\beta'}(p). \quad (18) \end{aligned}$$

## 2. РОЖДЕНИЕ ТЯЖЕЛЫХ КВАРКОНИЕВ В КОЛЛИНЕАРНОЙ ПАРТОННОЙ МОДЕЛИ

В низшем порядке теории возмущений по константе сильного взаимодействия  $\alpha_s$  рождение связанного состояния тяжелых кварка и антикварка в слиянии двух глюонов в процессе  $g + g \rightarrow \mathcal{H}[{}^1S_0^{(8)}, {}^3P_{0,2}^{(1,8)}]$  описывается диаграммами, представленными на рис. 1. Вклад промежуточных состояний

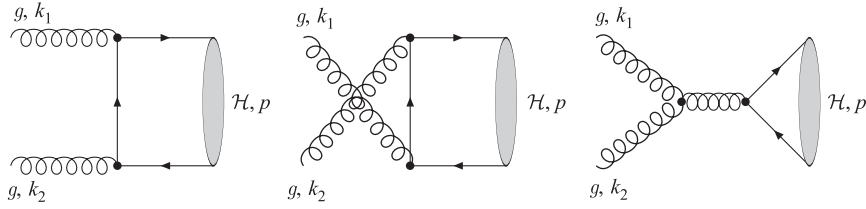


Рис. 1. Диаграммы процесса рождения тяжелого кваркония в глюон-глюонном слиянии

$[n] = [{}^3S_1^{(1,8)}]$  и  $[n] = [{}^3P_1^{(1,8)}]$  тождественно равен нулю. Усредненные по начальным цветовым состояниям и поляризациям глюонов и просуммированные по конечным поляризациям тяжелых кваркониев, квадраты модулей амплитуд представляются в виде [25]:

$$|\overline{\mathcal{A}(g + g \rightarrow \mathcal{H}[{}^3P_0^{(1)}])}|^2 = \frac{8}{3}\pi^2\alpha_s^2 \frac{\langle \mathcal{O}^{\mathcal{H}}[{}^3P_0^{(1)}] \rangle}{M^5} M^2, \quad (19)$$

$$|\overline{\mathcal{A}(g + g \rightarrow \mathcal{H}[{}^3P_2^{(1)}])}|^2 = \frac{32}{45}\pi^2\alpha_s^2 \frac{\langle \mathcal{O}^{\mathcal{H}}[{}^3P_2^{(1)}] \rangle}{M^5} M^2, \quad (20)$$

$$|\overline{\mathcal{A}(g + g \rightarrow \mathcal{H}[{}^1S_0^{(8)}])}|^2 = \frac{5}{12}\pi^2\alpha_s^2 \frac{\langle \mathcal{O}^{\mathcal{H}}[{}^1S_0^{(8)}] \rangle}{M^3} M^2, \quad (21)$$

$$|\overline{\mathcal{A}(g + g \rightarrow \mathcal{H}[{}^3P_0^{(8)}])}|^2 = 5\pi^2\alpha_s^2 \frac{\langle \mathcal{O}^{\mathcal{H}}[{}^3P_0^{(8)}] \rangle}{M^5} M^2, \quad (22)$$

$$|\overline{\mathcal{A}(g + g \rightarrow \mathcal{H}[{}^3P_2^{(8)}])}|^2 = \frac{4}{3}\pi^2\alpha_s^2 \frac{\langle \mathcal{O}^{\mathcal{H}}[{}^3P_2^{(8)}] \rangle}{M^5} M^2. \quad (23)$$

Однако в таких подпроцессах кварконии рождаются с нулевым поперечным импульсом ( $\mathbf{p}_T = \mathbf{0}$ ). Поэтому в КПМ для описания процессов рождения тяжелых кваркониев с ненулевым поперечным импульсом требуется учет диаграмм следующего порядка по  $\alpha_s$  с дополнительным глюоном в конечном состоянии, т. е. подпроцессов

$$g + g \rightarrow \mathcal{H}[{}^3S_1^{(1,8)}, {}^1S_0^{(8)}, {}^3P_J^{(1,8)}] + g. \quad (24)$$

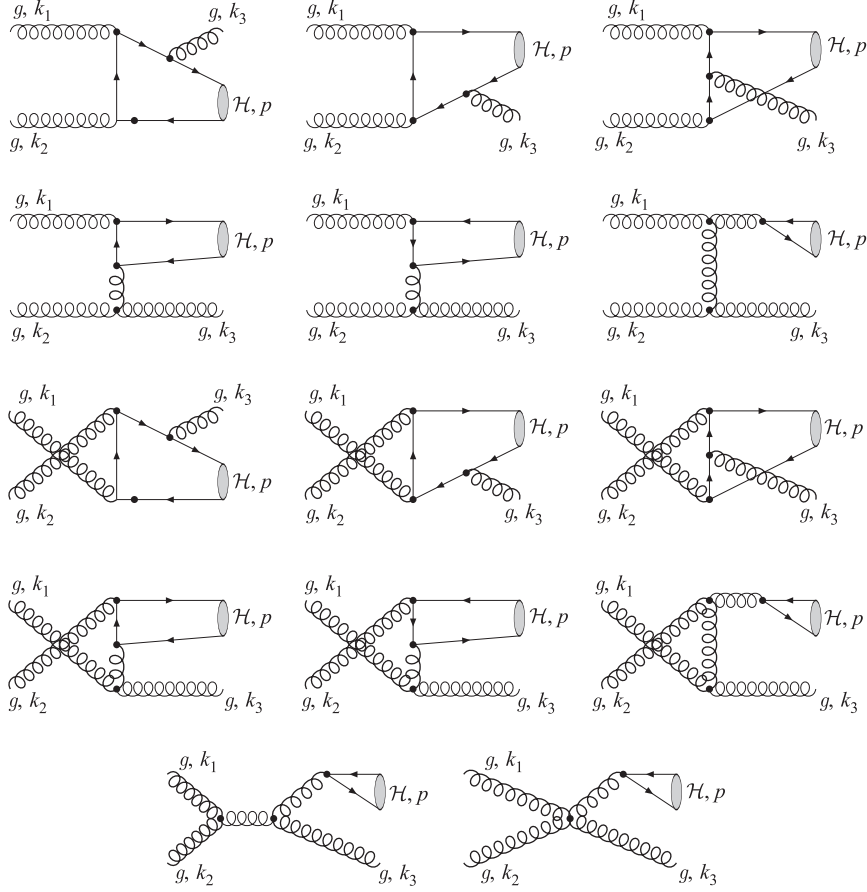


Рис. 2. Диаграммы процесса  $g + g \rightarrow \mathcal{H} + g$

Расчет квадратов модулей амплитуд для подпроцессов (24) был выполнен в работах [25, 26] с учетом полного набора фейнмановских диаграмм, показанных на рис. 2. Результаты расчетов можно представить в следующем виде:

$$\begin{aligned}
 |\mathcal{A}(g + g \rightarrow \mathcal{H}[{}^3S_1^{(1)}] + g)|^2 &= \pi^3 \alpha_s^3 \frac{320M \langle \mathcal{O}^{\mathcal{H}}[{}^3S_1^{(1)}] \rangle}{81(M^2 - \hat{t})^2(M^2 - \hat{u})^2(\hat{t} + \hat{u})^2} \times \\
 &\times (M^4 \hat{t}^2 - 2M^2 \hat{t}^3 + \hat{t}^4 + M^4 \hat{t} \hat{u} - 3M^2 \hat{t}^2 \hat{u} + 2\hat{t}^3 \hat{u} + M^4 \hat{u}^2 - \\
 &\quad - 3M^2 \hat{t} \hat{u}^2 + 3\hat{t}^2 \hat{u}^2 - 2M^2 \hat{u}^3 + 2\hat{t} \hat{u}^3 + \hat{u}^4), \quad (25)
 \end{aligned}$$



$$\begin{aligned}
 \overline{|\mathcal{A}(g+g \rightarrow \mathcal{H}[{}^3P_0^{(1)}] + g)|^2} &= \pi^3 \alpha_s^3 \frac{128 \langle \mathcal{O}^{\mathcal{H}}[{}^3P_0^{(1)}] \rangle}{9M^3 \hat{s} (M^2 - \hat{t})^4 \hat{t} (M^2 - \hat{u})^4 \hat{u} (\hat{t} + \hat{u})^4} \times \\
 &\times (9M^{20} (\hat{t} + \hat{u})^4 + \hat{t}^2 \hat{u}^2 (\hat{t} + \hat{u})^2 (\hat{t}^2 + \hat{t}\hat{u} + \hat{u}^2)^4 - 6M^{18} (\hat{t} + \\
 &+ \hat{u})^3 (9\hat{t}^2 + 14\hat{t}\hat{u} + 9\hat{u}^2) - 2M^{14} (\hat{t} + \hat{u})^3 (135\hat{t}^4 + 393\hat{t}^3\hat{u} + 545\hat{t}^2\hat{u}^2 + 393\hat{t}\hat{u}^3 + \\
 &+ 135\hat{u}^4) + M^{16} (\hat{t} + \hat{u})^2 (153\hat{t}^4 + 492\hat{t}^3\hat{u} + 695\hat{t}^2\hat{u}^2 + 492\hat{t}\hat{u}^3 + 153\hat{u}^4) - 2M^2 \hat{t}\hat{u} (\hat{t}^2 + \\
 &+ \hat{t}\hat{u} + \hat{u}^2)^2 (3\hat{t}^7 + 15\hat{t}^6\hat{u} + 37\hat{t}^5\hat{u}^2 + 55\hat{t}^4\hat{u}^3 + 55\hat{t}^3\hat{u}^4 + 37\hat{t}^2\hat{u}^5 + 15\hat{t}\hat{u}^6 + \\
 &+ 3\hat{u}^7) + 2M^{12} (162\hat{t}^8 + 1065\hat{t}^7\hat{u} + 3208\hat{t}^6\hat{u}^2 + 5852\hat{t}^5\hat{u}^3 + 7096\hat{t}^4\hat{u}^4 + 5852\hat{t}^3\hat{u}^5 + \\
 &+ 3208\hat{t}^2\hat{u}^6 + 1065\hat{t}\hat{u}^7 + 162\hat{u}^8) - 2M^{10} (135\hat{t}^9 + 966\hat{t}^8\hat{u} + 3215\hat{t}^7\hat{u}^2 + 6627\hat{t}^6\hat{u}^3 + \\
 &+ 9351\hat{t}^5\hat{u}^4 + 9351\hat{t}^4\hat{u}^5 + 6627\hat{t}^3\hat{u}^6 + 3215\hat{t}^2\hat{u}^7 + 966\hat{t}\hat{u}^8 + 135\hat{u}^9) + M^8 (153\hat{t}^{10} + \\
 &+ 1170\hat{t}^9\hat{u} + 4249\hat{t}^8\hat{u}^2 + 9722\hat{t}^7\hat{u}^3 + 15548\hat{t}^6\hat{u}^4 + 18124\hat{t}^5\hat{u}^5 + 15548\hat{t}^4\hat{u}^6 + \\
 &+ 9722\hat{t}^3\hat{u}^7 + 4249\hat{t}^2\hat{u}^8 + 1170\hat{t}\hat{u}^9 + 153\hat{u}^{10}) - 2M^6 (27\hat{t}^{11} + 222\hat{t}^{10}\hat{u} + 885\hat{t}^9\hat{u}^2 + \\
 &+ 2237\hat{t}^8\hat{u}^3 + 4001\hat{t}^7\hat{u}^4 + 5308\hat{t}^6\hat{u}^5 + 5308\hat{t}^5\hat{u}^6 + 4001\hat{t}^4\hat{u}^7 + 2237\hat{t}^3\hat{u}^8 + \\
 &+ 885\hat{t}^2\hat{u}^9 + 222\hat{t}\hat{u}^{10} + 27\hat{u}^{11}) + M^4 (9\hat{t}^{12} + 90\hat{t}^{11}\hat{u} + 416\hat{t}^{10}\hat{u}^2 + 1190\hat{t}^9\hat{u}^3 + \\
 &+ 2394\hat{t}^8\hat{u}^4 + 3582\hat{t}^7\hat{u}^5 + 4090\hat{t}^6\hat{u}^6 + 3582\hat{t}^5\hat{u}^7 + 2394\hat{t}^4\hat{u}^8 + 1190\hat{t}^3\hat{u}^9 + \\
 &+ 416\hat{t}^2\hat{u}^{10} + 90\hat{t}\hat{u}^{11} + 9\hat{u}^{12}), \quad (26)
 \end{aligned}$$

$$\begin{aligned}
 \overline{|\mathcal{A}(g+g \rightarrow \mathcal{H}[{}^3P_1^{(1)}] + g)|^2} &= \pi^3 \alpha_s^3 \frac{128 \langle \mathcal{O}^{\mathcal{H}}[{}^3P_1^{(1)}] \rangle}{3M^3 (M^2 - \hat{t})^4 (M^2 - \hat{u})^4 (\hat{t} + \hat{u})^4} \times \\
 &\times (\hat{t}^2 + \hat{t}\hat{u} + \hat{u}^2 - M^2 (\hat{t} + \hat{u}))^2 (M^{10} (\hat{t}^2 + \hat{u}^2) - 2\hat{t}\hat{u} (\hat{t} + \hat{u}) (\hat{t}^2 + \\
 &+ \hat{t}\hat{u} + \hat{u}^2)^2 - 2M^8 (3\hat{t}^3 + 2\hat{t}^2\hat{u} + 2\hat{t}\hat{u}^2 + 3\hat{u}^3) + M^6 (13\hat{t}^4 + 20\hat{t}^3\hat{u} + 10\hat{t}^2\hat{u}^2 + \\
 &+ 20\hat{t}\hat{u}^3 + 13\hat{u}^4) - 4M^4 (3\hat{t}^5 + 8\hat{t}^4\hat{u} + 6\hat{t}^3\hat{u}^2 + 6\hat{t}^2\hat{u}^3 + 8\hat{t}\hat{u}^4 + 3\hat{u}^5) + \\
 &+ M^2 (4\hat{t}^6 + 18\hat{t}^5\hat{u} + 25\hat{t}^4\hat{u}^2 + 20\hat{t}^3\hat{u}^3 + 25\hat{t}^2\hat{u}^4 + 18\hat{t}\hat{u}^5 + 4\hat{u}^6)), \quad (27)
 \end{aligned}$$

$$\begin{aligned}
 \overline{|\mathcal{A}(g+g \rightarrow \mathcal{H}[{}^3P_2^{(1)}] + g)|^2} &= \pi^3 \alpha_s^3 \frac{128 \langle \mathcal{O}^{\mathcal{H}}[{}^3P_2^{(1)}] \rangle}{3M^3 \hat{s} (M^2 - \hat{t})^4 \hat{t} (M^2 - \hat{u})^4 \hat{u} (\hat{t} + \hat{u})^4} \times \\
 &\times (12M^{20} (\hat{t} + \hat{u})^4 + 2\hat{t}^2 \hat{u}^2 (\hat{t} + \hat{u})^2 (\hat{t}^2 + \hat{t}\hat{u} + \hat{u}^2)^4 - 24M^{18} (\hat{t} + \\
 &+ \hat{u})^3 (3\hat{t}^2 + 5\hat{t}\hat{u} + 3\hat{u}^2) + M^{16} (\hat{t} + \hat{u})^2 (204\hat{t}^4 + 651\hat{t}^3\hat{u} + 880\hat{t}^2\hat{u}^2 + 651\hat{t}\hat{u}^3 + \\
 &+ 204\hat{u}^4) - M^2 \hat{t}\hat{u} (\hat{t}^2 + \hat{t}\hat{u} + \hat{u}^2)^2 (12\hat{t}^7 + 60\hat{t}^6\hat{u} + 91\hat{t}^5\hat{u}^2 + 49\hat{t}^4\hat{u}^3 + 49\hat{t}^3\hat{u}^4 + \\
 &+ 91\hat{t}^2\hat{u}^5 + 60\hat{t}\hat{u}^6 + 12\hat{u}^7) - M^{14} (360\hat{t}^7 + 1995\hat{t}^6\hat{u} + 4949\hat{t}^5\hat{u}^2 + 7428\hat{t}^4\hat{u}^3 + \\
 &+ 7428\hat{t}^3\hat{u}^4 + 4949\hat{t}^2\hat{u}^5 + 1995\hat{t}\hat{u}^6 + 360\hat{u}^7) + M^{12} (432\hat{t}^8 + 2526\hat{t}^7\hat{u} + 6652\hat{t}^6\hat{u}^2 + \\
 &+ 10877\hat{t}^5\hat{u}^3 + 12640\hat{t}^4\hat{u}^4 + 10877\hat{t}^3\hat{u}^5 + 6652\hat{t}^2\hat{u}^6 + 2526\hat{t}\hat{u}^7 + 432\hat{u}^8) - \\
 &- M^{10} (360\hat{t}^9 + 2274\hat{t}^8\hat{u} + 6290\hat{t}^7\hat{u}^2 + 10647\hat{t}^6\hat{u}^3 + 13185\hat{t}^5\hat{u}^4 + 13185\hat{t}^4\hat{u}^5 +
 \end{aligned}$$

$$\begin{aligned}
& + 10647\hat{t}^3\hat{u}^6 + 6290\hat{t}^2\hat{u}^7 + 2274\hat{t}\hat{u}^8 + 360\hat{u}^9) + \\
& + M^8(204\hat{t}^{10} + 1455\hat{t}^9\hat{u} + 4328\hat{t}^8\hat{u}^2 + 7504\hat{t}^7\hat{u}^3 + \\
& + 9232\hat{t}^6\hat{u}^4 + 9614\hat{t}^5\hat{u}^5 + 9232\hat{t}^4\hat{u}^6 + 7504\hat{t}^3\hat{u}^7 + 4328\hat{t}^2\hat{u}^8 + 1455\hat{t}\hat{u}^9 + \\
& + 204\hat{u}^{10}) - M^6(72\hat{t}^{11} + 615\hat{t}^{10}\hat{u} + 2085\hat{t}^9\hat{u}^2 + 3878\hat{t}^8\hat{u}^3 + 4748\hat{t}^7\hat{u}^4 + 4678\hat{t}^6\hat{u}^5 + \\
& + 4678\hat{t}^5\hat{u}^6 + 4748\hat{t}^4\hat{u}^7 + 3878\hat{t}^3\hat{u}^8 + 2085\hat{t}^2\hat{u}^9 + 615\hat{t}\hat{u}^{10} + 72\hat{u}^{11}) + M^4(12\hat{t}^{12} + \\
& + 144\hat{t}^{11}\hat{u} + 616\hat{t}^{10}\hat{u}^2 + 1345\hat{t}^9\hat{u}^3 + 1824\hat{t}^8\hat{u}^4 + 1806\hat{t}^7\hat{u}^5 + 1688\hat{t}^6\hat{u}^6 + \\
& + 1806\hat{t}^5\hat{u}^7 + 1824\hat{t}^4\hat{u}^8 + 1345\hat{t}^3\hat{u}^9 + 616\hat{t}^2\hat{u}^{10} + 144\hat{t}\hat{u}^{11} + 12\hat{u}^{12}), \quad (28)
\end{aligned}$$

$$\begin{aligned}
& \overline{|\mathcal{A}(g + g \rightarrow \mathcal{H}[{}^3S_1^{(8)}] + g)|^2} = \\
& = \pi^3 \alpha_s^3 \frac{8 \langle \mathcal{O}^{\mathcal{H}}[{}^3S_1^{(8)}] \rangle}{9M^3(M^2 - \hat{t})^2(M^2 - \hat{u})^2(\hat{t} + \hat{u})^2} (19M^4 - \\
& - 27M^2(\hat{t} + \hat{u}) + 27(\hat{t}^2 + \hat{t}\hat{u} + \hat{u}^2))(M^4(\hat{t}^2 + \hat{t}\hat{u} + \hat{u}^2) + (\hat{t}^2 + \hat{t}\hat{u} + \hat{u}^2)^2 - \\
& - M^2(2\hat{t}^3 + 3\hat{t}^2\hat{u} + 3\hat{t}\hat{u}^2 + 2\hat{u}^3)), \quad (29)
\end{aligned}$$

$$\begin{aligned}
& \overline{|\mathcal{A}(g + g \rightarrow \mathcal{H}[{}^1S_0^{(8)}] + g)|^2} = \\
& = \pi^3 \alpha_s^3 \frac{20 \langle \mathcal{O}^{\mathcal{H}}[{}^1S_0^{(8)}] \rangle}{M\hat{s}(M^2 - \hat{t})^2\hat{t}(M^2 - \hat{u})^2\hat{u}(\hat{t} + \hat{u})^2} (M^8 - 2M^6(\hat{t} + \hat{u}) + \\
& + 3M^4(\hat{t} + \hat{u})^2 - 2M^2(\hat{t} + \hat{u})^3 + (\hat{t}^2 + \hat{t}\hat{u} + \hat{u}^2)^2)(M^4(\hat{t}^2 + \hat{t}\hat{u} + \hat{u}^2) + (\hat{t}^2 + \hat{t}\hat{u} + \hat{u}^2)^2 - \\
& - M^2(2\hat{t}^3 + 3\hat{t}^2\hat{u} + 3\hat{t}\hat{u}^2 + 2\hat{u}^3)), \quad (30)
\end{aligned}$$

$$\begin{aligned}
& \overline{|\mathcal{A}(g + g \rightarrow \mathcal{H}[{}^3P_0^{(8)}] + g)|^2} = \\
& = \pi^3 \alpha_s^3 \frac{80 \langle \mathcal{O}^{\mathcal{H}}[{}^3P_0^{(8)}] \rangle}{3M^3\hat{s}(M^2 - \hat{t})^4\hat{t}(M^2 - \hat{u})^4\hat{u}(\hat{t} + \hat{u})^4} (9M^{20}(\hat{t} + \hat{u})^2(\hat{t}^2 + \\
& + \hat{t}\hat{u} + \hat{u}^2) + \hat{t}^2\hat{u}^2(\hat{t} + \hat{u})^2(\hat{t}^2 + \hat{t}\hat{u} + \hat{u}^2)^4 - 6M^{18}(\hat{t} + \hat{u})^3(9\hat{t}^2 + 7\hat{t}\hat{u} + 9\hat{u}^2) + \\
& + M^{16}(153\hat{t}^6 + 708\hat{t}^5\hat{u} + 1468\hat{t}^4\hat{u}^2 + 1822\hat{t}^3\hat{u}^3 + 1468\hat{t}^2\hat{u}^4 + 708\hat{t}\hat{u}^5 + 153\hat{u}^6) - \\
& - M^2\hat{t}\hat{u}(\hat{t}^2 + \hat{t}\hat{u} + \hat{u}^2)^2(6\hat{t}^7 + 30\hat{t}^6\hat{u} + 75\hat{t}^5\hat{u}^2 + \\
& + 113\hat{t}^4\hat{u}^3 + 113\hat{t}^3\hat{u}^4 + 75\hat{t}^2\hat{u}^5 + 30\hat{t}\hat{u}^6 + 6\hat{u}^7) - \\
& M^{14}(270\hat{t}^7 + 1482\hat{t}^6\hat{u} + 3677\hat{t}^5\hat{u}^2 + 5507\hat{t}^4\hat{u}^3 + 5507\hat{t}^3\hat{u}^4 + \\
& + 3677\hat{t}^2\hat{u}^5 + 1482\hat{t}\hat{u}^6 + 270\hat{u}^7) + \\
& + M^{12}(324\hat{t}^8 + 2040\hat{t}^7\hat{u} + 5865\hat{t}^6\hat{u}^2 + 10326\hat{t}^5\hat{u}^3 + 12350\hat{t}^4\hat{u}^4 + \\
& + 10326\hat{t}^3\hat{u}^5 + 5865\hat{t}^2\hat{u}^6 + 2040\hat{t}\hat{u}^7 + 324\hat{u}^8) -
\end{aligned}$$

$$\begin{aligned}
 & - M^{10}(270\hat{t}^9 + 1887\hat{t}^8\hat{u} + 6128\hat{t}^7\hat{u}^2 + 12375\hat{t}^6\hat{u}^3 + 17252\hat{t}^5\hat{u}^4 + \\
 & + 17252\hat{t}^4\hat{u}^5 + 12375\hat{t}^3\hat{u}^6 + 6128\hat{t}^2\hat{u}^7 + 1887\hat{t}\hat{u}^8 + 270\hat{u}^9) + \\
 & + M^8(153\hat{t}^{10} + 1155\hat{t}^9\hat{u} + 4166\hat{t}^8\hat{u}^2 + 9470\hat{t}^7\hat{u}^3 + 15071\hat{t}^6\hat{u}^4 + \\
 & + 17534\hat{t}^5\hat{u}^5 + 15071\hat{t}^4\hat{u}^6 + 9470\hat{t}^3\hat{u}^7 + 4166\hat{t}^2\hat{u}^8 + \\
 & + 1155\hat{t}\hat{u}^9 + 153\hat{u}^{10}) - M^6(54\hat{t}^{11} + 441\hat{t}^{10}\hat{u} + 1765\hat{t}^9\hat{u}^2 + 4479\hat{t}^8\hat{u}^3 + 8030\hat{t}^7\hat{u}^4 + \\
 & + 10663\hat{t}^6\hat{u}^5 + 10663\hat{t}^5\hat{u}^6 + 8030\hat{t}^4\hat{u}^7 + 4479\hat{t}^3\hat{u}^8 + 1765\hat{t}^2\hat{u}^9 + 441\hat{t}\hat{u}^{10} + 54\hat{u}^{11}) + \\
 & + M^4(9\hat{t}^{12} + 90\hat{t}^{11}\hat{u} + 418\hat{t}^{10}\hat{u}^2 + 1205\hat{t}^9\hat{u}^3 + 2441\hat{t}^8\hat{u}^4 + 3668\hat{t}^7\hat{u}^5 + 4194\hat{t}^6\hat{u}^6 + \\
 & + 3668\hat{t}^5\hat{u}^7 + 2441\hat{t}^4\hat{u}^8 + 1205\hat{t}^3\hat{u}^9 + 418\hat{t}^2\hat{u}^{10} + 90\hat{t}\hat{u}^{11} + 9\hat{u}^{12}), \quad (31)
 \end{aligned}$$

$$\begin{aligned}
 & \overline{|\mathcal{A}(g + g \rightarrow \mathcal{H}[{}^3P_1^{(8)}] + g)|^2} = \\
 & = \pi^3 \alpha_s^3 \frac{160 \langle \mathcal{O}^{\mathcal{H}}[{}^3P_1^{(8)}] \rangle}{3M^3(M^2 - \hat{t})^4(M^2 - \hat{u})^4(\hat{t} + \hat{u})^4} (M^{14}(\hat{t}^2 + \hat{t}\hat{u} + \hat{u}^2)^2 - \\
 & - \hat{t}\hat{u}(\hat{t} + \hat{u})(\hat{t}^2 + \hat{t}\hat{u} + \hat{u}^2)^4 - M^{12}(6\hat{t}^5 + 13\hat{t}^4\hat{u} + 18\hat{t}^3\hat{u}^2 + 18\hat{t}^2\hat{u}^3 + 13\hat{t}\hat{u}^4 + 6\hat{u}^5) + \\
 & + M^2(\hat{t}^2 + \hat{t}\hat{u} + \hat{u}^2)^2(2\hat{t}^6 + 11\hat{t}^5\hat{u} + 17\hat{t}^4\hat{u}^2 + 15\hat{t}^3\hat{u}^3 + 17\hat{t}^2\hat{u}^4 + 11\hat{t}\hat{u}^5 + 2\hat{u}^6) + \\
 & + M^{10}(16\hat{t}^6 + 41\hat{t}^5\hat{u} + 56\hat{t}^4\hat{u}^2 + 63\hat{t}^3\hat{u}^3 + 56\hat{t}^2\hat{u}^4 + 41\hat{t}\hat{u}^5 + 16\hat{u}^6) - \\
 & - M^8(24\hat{t}^7 + 77\hat{t}^6\hat{u} + 117\hat{t}^5\hat{u}^2 + 137\hat{t}^4\hat{u}^3 + 137\hat{t}^3\hat{u}^4 + 117\hat{t}^2\hat{u}^5 + 77\hat{t}\hat{u}^6 + 24\hat{u}^7) + \\
 & + M^6(21\hat{t}^8 + 86\hat{t}^7\hat{u} + 158\hat{t}^6\hat{u}^2 + 203\hat{t}^5\hat{u}^3 + 219\hat{t}^4\hat{u}^4 + \\
 & + 203\hat{t}^3\hat{u}^5 + 158\hat{t}^2\hat{u}^6 + 86\hat{t}\hat{u}^7 + 21\hat{u}^8) - \\
 & - M^4(10\hat{t}^9 + 53\hat{t}^8\hat{u} + 122\hat{t}^7\hat{u}^2 + 185\hat{t}^6\hat{u}^3 + 221\hat{t}^5\hat{u}^4 + 221\hat{t}^4\hat{u}^5 + 185\hat{t}^3\hat{u}^6 + 122\hat{t}^2\hat{u}^7 + \\
 & + 53\hat{t}\hat{u}^8 + 10\hat{u}^9), \quad (32)
 \end{aligned}$$

$$\begin{aligned}
 & \overline{|\mathcal{A}(g + g \rightarrow \mathcal{H}[{}^3P_2^{(8)}] + g)|^2} = \\
 & = \pi^3 \alpha_s^3 \frac{32 \langle \mathcal{O}^{\mathcal{H}}[{}^3P_2^{(8)}] \rangle}{3M^3\hat{s}(M^2 - \hat{t})^4\hat{t}(M^2 - \hat{u})^4\hat{u}(\hat{t} + \hat{u})^4} (6M^{20}(\hat{t} + \hat{u})^2(\hat{t}^2 + \\
 & + \hat{t}\hat{u} + \hat{u}^2) + \hat{t}^2\hat{u}^2(\hat{t} + \hat{u})^2(\hat{t}^2 + \hat{t}\hat{u} + \hat{u}^2)^4 - \\
 & - 3M^{18}(12\hat{t}^5 + 47\hat{t}^4\hat{u} + 77\hat{t}^3\hat{u}^2 + 77\hat{t}^2\hat{u}^3 + 47\hat{t}\hat{u}^4 + \\
 & + 12\hat{u}^5) + M^{16}(102\hat{t}^6 + 477\hat{t}^5\hat{u} + 940\hat{t}^4\hat{u}^2 + 1129\hat{t}^3\hat{u}^3 + 940\hat{t}^2\hat{u}^4 + 477\hat{t}\hat{u}^5 + 102\hat{u}^6) - \\
 & - M^2\hat{t}\hat{u}(\hat{t}^2 + \hat{t}\hat{u} + \hat{u}^2)^2(6\hat{t}^7 + 30\hat{t}^6\hat{u} + 45\hat{t}^5\hat{u}^2 + \\
 & + 23\hat{t}^4\hat{u}^3 + 23\hat{t}^3\hat{u}^4 + 45\hat{t}^2\hat{u}^5 + 30\hat{t}\hat{u}^6 + 6\hat{u}^7) - \\
 & - M^{14}(180\hat{t}^7 + 945\hat{t}^6\hat{u} + 2141\hat{t}^5\hat{u}^2 + 2972\hat{t}^4\hat{u}^3 + 2972\hat{t}^3\hat{u}^4 + \\
 & + 2141\hat{t}^2\hat{u}^5 + 945\hat{t}\hat{u}^6 + 180\hat{u}^7) + M^{12}(216\hat{t}^8 + 1242\hat{t}^7\hat{u} +
 \end{aligned}$$

$$\begin{aligned}
& + 3111\hat{t}^6\hat{u}^2 + 4791\hat{t}^5\hat{u}^3 + 5411\hat{t}^4\hat{u}^4 + 4791\hat{t}^3\hat{u}^5 + 3111\hat{t}^2\hat{u}^6 + \\
& + 1242\hat{t}\hat{u}^7 + 216\hat{u}^8) - M^{10}(180\hat{t}^9 + 1143\hat{t}^8\hat{u} + 3110\hat{t}^7\hat{u}^2 + 5115\hat{t}^6\hat{u}^3 + 6188\hat{t}^5\hat{u}^4 + \\
& + 6188\hat{t}^4\hat{u}^5 + 5115\hat{t}^3\hat{u}^6 + 3110\hat{t}^2\hat{u}^7 + 1143\hat{t}\hat{u}^8 + 180\hat{u}^9) + M^8(102\hat{t}^{10} + 735\hat{t}^9\hat{u} + \\
& + 2198\hat{t}^8\hat{u}^2 + 3812\hat{t}^7\hat{u}^3 + 4706\hat{t}^6\hat{u}^4 + 4919\hat{t}^5\hat{u}^5 + 4706\hat{t}^4\hat{u}^6 + 3812\hat{t}^3\hat{u}^7 + 2198\hat{t}^2\hat{u}^8 + \\
& + 735\hat{t}\hat{u}^9 + 102\hat{u}^{10}) - M^6(36\hat{t}^{11} + 309\hat{t}^{10}\hat{u} + 1060\hat{t}^9\hat{u}^2 + 1995\hat{t}^8\hat{u}^3 + 2498\hat{t}^7\hat{u}^4 + \\
& + 2536\hat{t}^6\hat{u}^5 + 2536\hat{t}^5\hat{u}^6 + 2498\hat{t}^4\hat{u}^7 + 1995\hat{t}^3\hat{u}^8 + 1060\hat{t}^2\hat{u}^9 + 309\hat{t}\hat{u}^{10} + 36\hat{u}^{11}) + \\
& + M^4(6\hat{t}^{12} + 72\hat{t}^{11}\hat{u} + 310\hat{t}^{10}\hat{u}^2 + 680\hat{t}^9\hat{u}^3 + 932\hat{t}^8\hat{u}^4 + 944\hat{t}^7\hat{u}^5 + 897\hat{t}^6\hat{u}^6 + \\
& + 944\hat{t}^5\hat{u}^7 + 932\hat{t}^4\hat{u}^8 + 680\hat{t}^3\hat{u}^9 + 310\hat{t}^2\hat{u}^{10} + 72\hat{t}\hat{u}^{11} + 6\hat{u}^{12}), \quad (33)
\end{aligned}$$

где  $\hat{s} = (k_1 + k_2)^2$ ,  $\hat{t} = (k_1 - p)^2$  и  $\hat{u} = (k_2 - p)^2$  — стандартные мандельштамовские переменные процесса (24).

Определим кинематические переменные для процесса рождения тяжелого кваркония в  $p\bar{p}$ -взаимодействиях:  $p_\mu = (p_0, \mathbf{p}_T, p_3)$  — 4-импульс кваркония;  $y_p$  и  $\eta_p$  — быстрота и псевдобыстрота кваркония:

$$y_p = \frac{1}{2} \ln \left( \frac{p_0 + p_3}{p_0 - p_3} \right), \quad \eta_p = \frac{1}{2} \ln \left( \frac{|\mathbf{p}| + p_3}{|\mathbf{p}| - p_3} \right). \quad (34)$$

В КПМ сечение рождения кваркония  $\mathcal{H}$  в процессе  $p+p \rightarrow \mathcal{H}+X$  связано с квадратом модуля амплитуды рождения  $\mathcal{H}$  в подпроцессе (24) следующим образом:

$$\begin{aligned}
\sigma(p+p \rightarrow \mathcal{H}+X) &= \frac{1}{(2\pi)^2} \int d^2p_T dy_p d^2k_{3T} dy_{k_3} \delta^{(2)}(\mathbf{p}_T + \mathbf{k}_T) \times \\
&\times x_1 G(x_1, \mu^2) x_2 G(x_2, \mu^2) \frac{|\mathcal{A}(g+g \rightarrow \mathcal{H}+g)|^2}{I}, \quad (35)
\end{aligned}$$

где  $k_i^\mu = x_i P_i^\mu$  — 4-импульс начального  $i$ -го глюона;  $x_i$  — доля импульса протона, уносимая глюоном;  $P_i^\mu$  — 4-импульс  $i$ -го сталкивающегося протона;  $E_i$  — его энергия;  $S = 4E_1 E_2$ ;  $I = 2x_1 x_2 S$  — потоковый фактор сталкивающихся глюонов;  $y_{k_3}$  — быстрота конечного глюона;  $\mu^2 = M_T^2 = M^2 + |\mathbf{p}_T|^2$  — характерный масштаб процесса рождения тяжелого кваркония.

Дважды дифференциальное сечение рождения кваркония записывается в виде

$$\begin{aligned}
\frac{d\sigma(p+p \rightarrow \mathcal{H}+X)}{d|\mathbf{p}_T| dy_p} &= \\
&= \frac{|\mathbf{p}_T|}{8\pi} \int \frac{dx_2}{x_2 - \xi_2} G(x_1, \mu^2) G(x_2, \mu^2) \frac{|\mathcal{A}(g+g \rightarrow \mathcal{H}+g)|^2}{x_1 x_2 S^2}, \quad (36)
\end{aligned}$$

где

$$x_1 = \frac{x_2 \xi_1 S - M^2}{(x_2 - \xi_2) S}, \quad (37)$$

$$\xi_1 = \frac{p_0 + p_3}{2E_1}, \quad \xi_2 = \frac{p_0 - p_3}{2E_2}. \quad (38)$$

### 3. ПОДХОД КВАЗИМУЛЬТИРЕДЖЕВСКОЙ КИНЕМАТИКИ

В подходе КМПК рассматриваются доминирующие в реджевском пределе процессы с обменом реджезованным глюоном в  $t$ -канале. Для вычисления матричных элементов процессов с участием реджезованного глюона недавно были сформулированы правила Фейнмана [10] для индуцированных и ряда эффективных вершин взаимодействия в эффективной квантово-полевой теории с неабелевым калибровочным взаимодействием [9]. Следуя работе [10], представим подборку основных фейнмановских правил.

Индукцированная вершина перехода реджезованного глюона в глюон  $R^\pm \rightarrow g$  (PR-вершина, рис. 3,  $a$ ) имеет вид

$$\Gamma_{ab}^{\pm\nu}(q) = i\delta^{ab}q^2(n^\pm)^\nu, \quad (39)$$

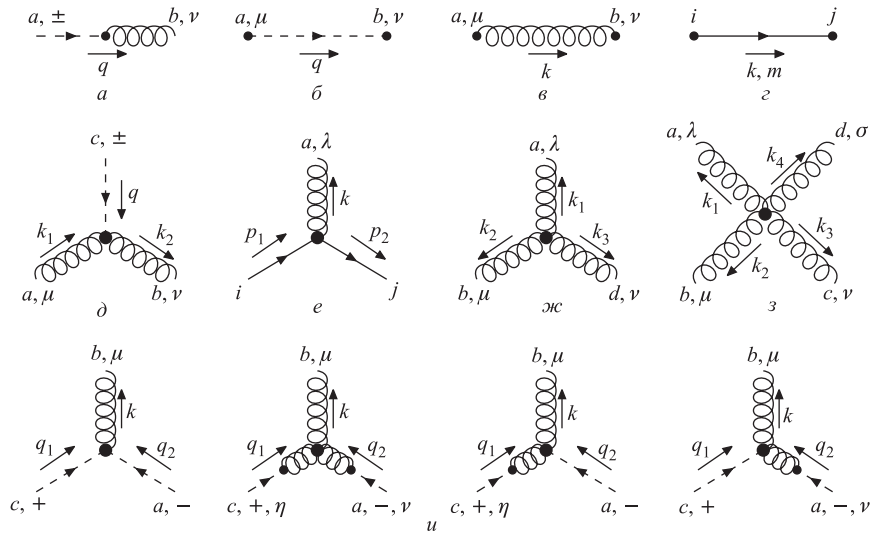


Рис. 3. Правила Фейнмана

где использованы следующие определения для 4-векторов  $(n^\pm)^\nu$ :

$$(n^+)^\nu = P_1^\nu/E_1, \quad (n^-)^\nu = P_2^\nu/E_2, \quad (40)$$

$$(n^+n^-) = 2, \quad (n^\pm n^\pm) = 0. \quad (41)$$

По определению для любого 4-вектора  $k^\mu$   $k^\pm = (kn^\pm)$ . Нетрудно видеть, что 4-импульсы реджезованных глюонов могут быть представлены в виде

$$q_1^\mu = q_{1T}^\mu + \frac{q_1^-}{2}(n^+)^\mu, \quad q_2^\mu = q_{2T}^\mu + \frac{q_2^+}{2}(n^-)^\mu, \quad q_1^+ = q_2^- = 0. \quad (42)$$

Индукцированная вершина взаимодействия реджезованного глюона с двумя янг-миллсовскими глюонами (PPR-вершина, рис. 3, д) есть

$$\Gamma_{acb}^{\mu\pm\nu}(k_1, q, k_2) = -g_s f^{abc} \frac{q^2}{k_1^\pm} (n^\pm)^\mu (n^\pm)^\nu, \quad (43)$$

где  $f^{abc}$  — антисимметричная структурная постоянная калибровочной группы  $SU(3)$ .

Пропагатор реджезованного глюона (рис. 3, б) определяется следующим образом:

$$D_{ab}^{\mu\nu}(q) = -i\delta^{ab} \frac{1}{2q^2} [(n^+)^\mu (n^-)^\nu + (n^+)^\nu (n^-)^\mu]. \quad (44)$$

Лагранжиан теории [9] помимо индуцированной части, отвечающей за реджезованное глюон-глюонное взаимодействие, также включает в себя стандартную янг-миллсовскую часть, отвечающую за кварк-глюонное и глюон-глюонное взаимодействия. Приведем для полноты изложения стандартные правила Фейнмана для этой части лагранжиана:

глюонный пропагатор (рис. 3, в)

$$D_{ab}^{\mu\nu}(k) = -i\delta^{ab} \frac{g^{\mu\nu}}{k^2}, \quad (45)$$

кварковый пропагатор (рис. 3, з)

$$D(k, m) = i \frac{\hat{k} + m}{k^2 - m^2}, \quad (46)$$

кварк-глюонная вершина (рис. 3, е)

$$V_a^\mu(p_1, k, p_2) = ig_s T^a \gamma^\mu, \quad (47)$$

3-глюонная вершина (рис. 3, ж)

$$\begin{aligned} V_{abd}^{\lambda\mu\nu}(k_1, k_2, k_3) = \\ = -g_s f^{abd} [(k_1 - k_2)^\nu g^{\lambda\mu} + (k_2 - k_3)^\lambda g^{\mu\nu} + (k_3 - k_1)^\mu g^{\nu\lambda}], \end{aligned} \quad (48)$$

4-глюонная вершина (рис. 3, з)

$$\begin{aligned}
 V_{abcd}^{\lambda\mu\nu\sigma}(k_1, k_2, k_3, k_4) = & \\
 = -ig_s^2 [f^{abe} f^{cde} (g^{\lambda\nu} g^{\mu\sigma} - g^{\lambda\sigma} g^{\mu\nu}) + f^{ace} f^{bde} (g^{\lambda\mu} g^{\nu\sigma} - g^{\lambda\sigma} g^{\mu\nu}) + & \\
 + f^{ade} f^{cbe} (g^{\lambda\nu} g^{\mu\sigma} - g^{\lambda\mu} g^{\sigma\nu})]. & \quad (49)
 \end{aligned}$$

Используя правила Фейнмана для индуцированных вершин взаимодействия (39), (43), можно получить эффективные вершины, например, эффективную вершину рождения одиночного глюона двумя реджезованными глюонами  $R^+ R^- \rightarrow g$  (PRR-вершина, рис. 3, u) [10]:

$$\begin{aligned}
 \Gamma_{cba}^{+\mu-}(q_1, k, q_2) = V_{cab}^{\eta\nu\mu}(-q_1, -q_2, k)(n^+)^\eta (n^-)^\nu + & \\
 + \Gamma_{cab}^{\eta-\mu}(q_1, q_2, k)(n^+)^\eta + \Gamma_{acb}^{\nu+\mu}(q_2, q_1, k)(n^-)^\nu = & \\
 = 2g_s f^{cba} \left( (n^-)^\mu \left( q_2^+ + \frac{q_2^2}{q_1^-} \right) - (n^+)^\mu \left( q_1^- + \frac{q_1^2}{q_2^+} \right) + (q_1 - q_2)^\mu \right), & \quad (50)
 \end{aligned}$$

где при выводе учтено, что

$$\Gamma_{ab}^{\pm\nu}(q) D_{bc}^{\mu\nu}(q) = \delta^{ac} (n^\pm)^\mu. \quad (51)$$

Требование калибровочной инвариантности эффективной теории [9] приводит к следующему условию для амплитуд процессов в КМРК:

$$\lim_{|\mathbf{q}_{1T}, \mathbf{q}_{2T}| \rightarrow 0} |\overline{\mathcal{A}(R + R \rightarrow \mathcal{H} + X)}|^2 = 0. \quad (52)$$

В КМРК адронное сечение рождения кваркония  $\mathcal{H}$  в процессе

$$p + p \rightarrow \mathcal{H} + X \quad (53)$$

связано с квадратом модуля амплитуды рождения кваркония  $\mathcal{H}$  в подпроцессе с реджезованными глюонами в начальном состоянии

$$R + R \rightarrow \mathcal{H} + X \quad (54)$$

в случае процесса  $2 \rightarrow 1$  следующим образом:

$$\begin{aligned}
 \sigma(p + p \rightarrow \mathcal{H} + X) = \frac{1}{8(2\pi)} \int d^2 p_T dy_p \frac{d^2 q_{1T}}{|\mathbf{q}_{1T}|^2} \frac{d^2 q_{2T}}{|\mathbf{q}_{2T}|^2} \delta^{(2)}(\mathbf{p}_T - \mathbf{q}_{1T} - \mathbf{q}_{2T}) \times & \\
 \times \Phi(x_1, |\mathbf{q}_{1T}|^2, \mu^2) \Phi(x_2, |\mathbf{q}_{2T}|^2, \mu^2) |\overline{\mathcal{A}(R + R \rightarrow \mathcal{H})}|^2, & \quad (55)
 \end{aligned}$$

в случае процесса  $2 \rightarrow 2$ :

$$\begin{aligned} \sigma(p + p \rightarrow \mathcal{H} + X) &= \frac{1}{16(2\pi)^4} \int d^2 p_T dy_p d^2 k_{3T} dy_{k_3} \frac{d^2 q_{1T}}{|\mathbf{q}_{1T}|^2} \frac{d^2 q_{2T}}{|\mathbf{q}_{2T}|^2} \times \\ &\times \delta^{(2)}(\mathbf{p}_T + \mathbf{k}_T - \mathbf{q}_{1T} - \mathbf{q}_{2T}) \Phi(x_1, |\mathbf{q}_{1T}|^2, \mu^2) \Phi(x_2, |\mathbf{q}_{2T}|^2, \mu^2) \times \\ &\times \overline{|\mathcal{A}(R + R \rightarrow \mathcal{H} + g)|^2}, \quad (56) \end{aligned}$$

в случае процесса  $2 \rightarrow n$ :

$$\begin{aligned} \sigma(p + p \rightarrow \mathcal{H} + X) &= \frac{1}{4} \frac{1}{2^n (2\pi)^{3n-2}} \int \left( \prod_{j=1}^n d^2 p_{jT} dy_{p_j} \right) \frac{d^2 q_{1T}}{|\mathbf{q}_{1T}|^2} \frac{d^2 q_{2T}}{|\mathbf{q}_{2T}|^2} \times \\ &\times \delta^{(2)} \left( \left( \sum_{j=1}^n \mathbf{p}_{jT} \right) - \mathbf{q}_{1T} - \mathbf{q}_{2T} \right) \Phi(x_1, |\mathbf{q}_{1T}|^2, \mu^2) \Phi(x_2, |\mathbf{q}_{2T}|^2, \mu^2) \times \\ &\times \overline{\left| \mathcal{A} \left( R + R \rightarrow \left( \sum_{j=1}^n a_j \right) \right) \right|^2}, \quad (57) \end{aligned}$$

где  $a_i$  обозначает конечную частицу или струю с поперечным 4-импульсом  $p_{iT}^\mu$  и быстротой  $y_{p_i}$ ,  $\Phi(x, |\mathbf{q}_T|^2, \mu^2)$  — неколлинеарная функция распределения глюонов в протоне,  $x_1 = \frac{q_1^-}{P_1^+}$ ,  $x_2 = \frac{q_2^+}{P_2^+}$ ; быстроту кваркония можно представить в виде  $y_p = \frac{1}{2} \ln \left( \frac{p^+}{p^-} \right)$ . При этом неколлинеарная функция распределения реджезованных глюонов нормирована на стандартную коллинеарную функцию распределения глюонов в протоне:

$$xG(x, \mu^2) = \int \frac{d^2 q_T}{\pi} \Phi(x, |\mathbf{q}_T|^2, \mu^2). \quad (58)$$

Квадраты модулей амплитуд подпроцессов слияния янг-милловских и реджезованных глюонов связаны следующим предельным переходом:

$$\overline{|\mathcal{A}(g + g \rightarrow \mathcal{H} + X)|^2} = \lim_{|\mathbf{q}_{1T}|, |\mathbf{q}_{2T}| \rightarrow 0} \int \frac{d\varphi_1}{2\pi} \frac{d\varphi_2}{2\pi} \mathcal{N} \overline{|\mathcal{A}(R + R \rightarrow \mathcal{H} + X)|^2}, \quad (59)$$

где  $\varphi_{1,2}$  — угол между  $\mathbf{q}_{1T}$  ( $\mathbf{q}_{2T}$ ) и  $\mathbf{p}_T$ , а  $\mathcal{N}$  — нормировочный множитель, обеспечивающий правильный переход к коллинеарному партонному пределу:

$$\mathcal{N} = \frac{(q_1^- q_2^+)^2}{16 |\mathbf{q}_{1T}|^2 |\mathbf{q}_{2T}|^2}. \quad (60)$$



С учетом (58) и (60) в пределе  $\mathbf{q}_{1T} = \mathbf{q}_{2T} = \mathbf{0}$  восстанавливается факторизационная формула коллинеарной партонной модели, т. е. (56) переходит в адронное сечение процесса (35).

В случае процесса  $2 \rightarrow 1$

$$\cos \varphi = \cos(\varphi_1 - \varphi_2) = \frac{\lambda_q - t_1 - t_2 - M^2}{2\sqrt{t_1 t_2}}, \quad (61)$$

а в случае процесса  $2 \rightarrow 2$

$$\cos \varphi_1 = \frac{\lambda_1 + t_1 + \hat{t} - M^2}{2\sqrt{t_1(\lambda_p - M^2)}}, \quad (62)$$

$$\cos \varphi_2 = \frac{\lambda_2 + t_2 + \hat{u} - M^2}{2\sqrt{t_2(\lambda_p - M^2)}}. \quad (63)$$

Здесь были использованы следующие обозначения:  $\lambda_q = q_1^- q_2^+$ ,  $\lambda_p = p^- p^+$ ,  $\lambda_1 = q_1^- p^+$ ,  $\lambda_2 = p^- q_2^+$ ,  $t_1 = |\mathbf{q}_{1T}|^2$ ,  $t_2 = |\mathbf{q}_{2T}|^2$ .

#### 4. РОЖДЕНИЕ ТЯЖЕЛЫХ КВАРКОНИЕВ ПРИ СЛИЯНИИ РЕДЖЕЗОВАННЫХ ГЛЮОНОВ

Для описания процесса рождения тяжелых кваркониев ( $c\bar{c}$ ,  $b\bar{b}$ ) в процессе слияния реджезованных глюонов (рис. 4) в лидирующем порядке по  $\alpha_s$  и  $v$  необходимо учесть вклад следующих состояний в соответствующие волновые функции:  $[n] = [{}^3S_1^{(1)}, {}^3S_1^{(8)}, {}^1S_0^{(8)}, {}^3P_J^{(8)}]$ , если  $\mathcal{H} = J/\psi, \psi', \Upsilon(1S), \Upsilon(2S)$ ,

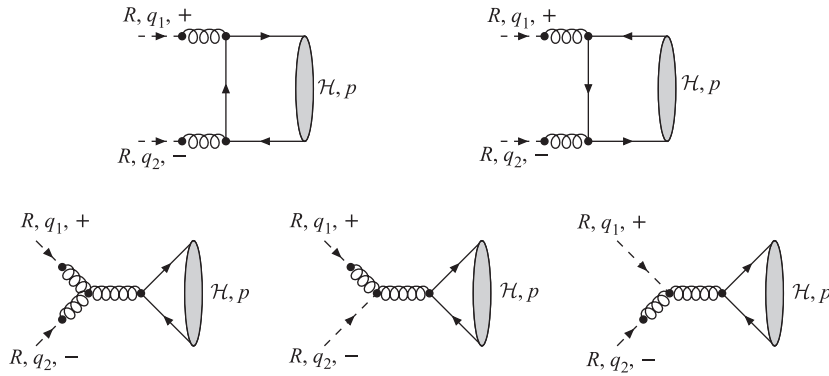


Рис. 4. Диаграммы процесса слияния двух реджезованных глюонов в случае рождения тяжелого кваркония

$\Upsilon(3S)$ , или  $[n] = [{}^3P_J^{(1)}, {}^3S_1^{(8)}]$ , если  $\mathcal{H} = \chi_{cJ}, \chi_{bJ}(1P), \chi_{bJ}(2P)$ , где  $J = 0, 1$  или  $2$ . Другими словами, необходимо учесть вклад следующих партонных подпроцессов:

$$R + R \rightarrow \mathcal{H} \left[ {}^3P_J^{(1)}, {}^3S_1^{(8)}, {}^1S_0^{(8)}, {}^3P_J^{(8)} \right], \quad (64)$$

$$R + R \rightarrow \mathcal{H} \left[ {}^3S_1^{(1)} \right] + g. \quad (65)$$

Опуская технические детали вычислений, приведем ответы для квадратов модулей амплитуд рассматриваемых процессов (64):

$$\begin{aligned} \overline{|\mathcal{A}(R + R \rightarrow \mathcal{H}[{}^3P_0^{(1)}])|^2} &= \frac{8}{3} \pi^2 \alpha_s^2 \frac{\langle \mathcal{O}^{\mathcal{H}}[{}^3P_0^{(1)}] \rangle}{M^5} F^{[{}^3P_0]}(t_1, t_2, \lambda_q), \\ \overline{|\mathcal{A}(R + R \rightarrow \mathcal{H}[{}^3P_1^{(1)}])|^2} &= \frac{16}{3} \pi^2 \alpha_s^2 \frac{\langle \mathcal{O}^{\mathcal{H}}[{}^3P_1^{(1)}] \rangle}{M^5} F^{[{}^3P_1]}(t_1, t_2, \lambda_q), \\ \overline{|\mathcal{A}(R + R \rightarrow \mathcal{H}[{}^3P_2^{(1)}])|^2} &= \frac{32}{45} \pi^2 \alpha_s^2 \frac{\langle \mathcal{O}^{\mathcal{H}}[{}^3P_2^{(1)}] \rangle}{M^5} F^{[{}^3P_2]}(t_1, t_2, \lambda_q), \\ \overline{|\mathcal{A}(R + R \rightarrow \mathcal{H}[{}^3S_1^{(8)}])|^2} &= \frac{1}{2} \pi^2 \alpha_s^2 \frac{\langle \mathcal{O}^{\mathcal{H}}[{}^3S_1^{(8)}] \rangle}{M^3} F^{[{}^3S_1]}(t_1, t_2, \lambda_q), \\ \overline{|\mathcal{A}(R + R \rightarrow \mathcal{H}[{}^1S_0^{(8)}])|^2} &= \frac{5}{12} \pi^2 \alpha_s^2 \frac{\langle \mathcal{O}^{\mathcal{H}}[{}^1S_0^{(8)}] \rangle}{M^3} F^{[{}^1S_0]}(t_1, t_2, \lambda_q), \\ \overline{|\mathcal{A}(R + R \rightarrow \mathcal{H}[{}^3P_0^{(8)}])|^2} &= 5 \pi^2 \alpha_s^2 \frac{\langle \mathcal{O}^{\mathcal{H}}[{}^3P_0^{(8)}] \rangle}{M^5} F^{[{}^3P_0]}(t_1, t_2, \lambda_q), \\ \overline{|\mathcal{A}(R + R \rightarrow \mathcal{H}[{}^3P_1^{(8)}])|^2} &= 10 \pi^2 \alpha_s^2 \frac{\langle \mathcal{O}^{\mathcal{H}}[{}^3P_1^{(8)}] \rangle}{M^5} F^{[{}^3P_1]}(t_1, t_2, \lambda_q), \\ \overline{|\mathcal{A}(R + R \rightarrow \mathcal{H}[{}^3P_2^{(8)}])|^2} &= \frac{4}{3} \pi^2 \alpha_s^2 \frac{\langle \mathcal{O}^{\mathcal{H}}[{}^3P_2^{(8)}] \rangle}{M^5} F^{[{}^3P_2]}(t_1, t_2, \lambda_q), \end{aligned} \quad (66)$$

где

$$\begin{aligned} F^{[{}^3S_1]}(t_1, t_2, \lambda_q) &= \frac{16t_1t_2 [(M^2 + t_1 + t_2)^2 - \lambda_q M^2]}{\lambda_q (M^2 + t_1 + t_2)^2}, \\ F^{[{}^1S_0]}(t_1, t_2, \lambda_q) &= \frac{8M^2 [4t_1t_2 - (\lambda_q - M^2 - t_1 - t_2)^2]}{(M^2 + t_1 + t_2)^2}, \\ F^{[{}^3P_0]}(t_1, t_2, \lambda_q) &= \\ &= \frac{8}{9} \frac{M^2 [3M^4 + 4M^2(t_1 + t_2) + (t_1 - t_2)^2 - \lambda_q(3M^2 + t_1 + t_2)^2]^2}{(M^2 + t_1 + t_2)^4}, \end{aligned}$$

$$\begin{aligned}
 F^{[{}^3P_1]}(t_1, t_2, \lambda_q) &= \\
 &= \frac{8}{9} \frac{M^2}{(M^2 + t_1 + t_2)^4} \left[ 2\lambda_q ((t_1 + t_2)^2 + M^2(t_1^2 + t_2^2)) - \right. \\
 &\quad \left. - \lambda_q^2(t_1 + t_2)^2 - (t_1 - t_2)^2(M^2 + t_1 + t_2)^2 \right], \tag{67}
 \end{aligned}$$

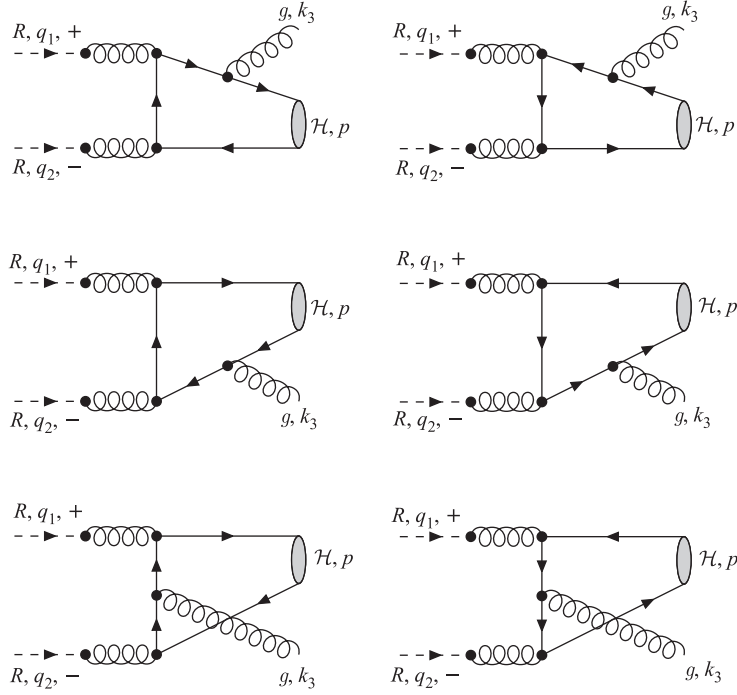
$$\begin{aligned}
 F^{[{}^3P_2]}(t_1, t_2, \lambda_q) &= \\
 &= \frac{4}{3} \frac{M^2}{(M^2 + t_1 + t_2)^4} \left[ M^4(t_1 + t_2)^2 + ((t_1 - t_2)^2 - \lambda_q(t_1 + t_2))^2 - \right. \\
 &\quad \left. - 2M^2(\lambda_q(t_1^2 + t_2^2 - 4t_1t_2) - (t_1 - t_2)^2(t_1 + t_2)) \right].
 \end{aligned}$$

Заметим, что формулы (66) и (67) с точностью до общего множителя  $\mathcal{N}$  равны полученным нами ранее соответствующим квадратам модуля амплитуд в подходе  $k_T$ -факторизации [17] таким образом, что

$$\overline{|\mathcal{A}_{\text{КТ}}(R + R \rightarrow \mathcal{H}[n])|^2} = \mathcal{N} \overline{|\mathcal{A}(R + R \rightarrow \mathcal{H}[n])|^2}. \tag{68}$$

В случае рождения кваркония  $\mathcal{H}$  через синглетное по цвету состояние  $[{}^3S_1^{(1)}]$  в подпроцессе (65), диаграммы которого приведены на рис. 5, квадрат модуля амплитуды имеет более сложную структуру и достаточно громоздок:

$$\begin{aligned}
 \overline{|\mathcal{A}(R + R \rightarrow \mathcal{H}[{}^3S_1^{(1)}] + g)|^2} &= \\
 &= \frac{-1280\alpha_s^3\pi^3}{81M(M^2 - \hat{t} + t_1)^2(M^2 + t_2 - \hat{u})^2(\hat{t} + t_1 + t_2 + \hat{u})^2} \times \\
 &\quad \times [-3M^8\lambda_p - 2M^6\lambda_p^2 + 6M^6\lambda_p\hat{t} + 4M^4\lambda_p^2\hat{t} - 3M^4\lambda_p\hat{t}^2 - \\
 &\quad - 2M^2\lambda_p^2\hat{t}^2 - 4M^6\lambda_p t_1 - 3M^6\hat{t}t_1 + 4M^4\lambda_p\hat{t}t_1 + 2M^4\hat{t}^2t_1 - M^4\lambda_p t_1^2 - \\
 &\quad - 4M^4\hat{t}t_1^2 + 2M^2\lambda_p\hat{t}t_1^2 - \lambda_p\hat{t}^2t_1^2 - M^2\hat{t}t_1^3 - 4M^6\lambda_p t_2 + 8M^4\lambda_p\hat{t}t_2 - \\
 &\quad - 4M^2\lambda_p\hat{t}^2t_2 - 3M^6t_1t_2 - 2M^4\lambda_p t_1t_2 - 3M^4\hat{t}t_1t_2 + 2M^2\hat{t}^2t_1t_2 + 2\lambda_p\hat{t}^2t_1t_2 - \\
 &\quad - 5M^4t_1^2t_2 - 2M^2\hat{t}t_1^2t_2 - 3M^2t_1^3t_2 - \hat{t}t_1^3t_2 - t_1^4t_2 - M^4\lambda_p t_2^2 + 2M^2\lambda_p\hat{t}t_2^2 - \lambda_p\hat{t}^2t_2^2 - \\
 &\quad - 5M^4t_1t_2^2 - M^2\hat{t}t_1t_2^2 - 4M^2t_1^2t_2^2 + 2\hat{t}t_1^2t_2^2 + t_1^3t_2^2 - 3M^2t_1t_2^3 - \hat{t}t_1t_2^3 + t_1^2t_2^3 - t_1t_2^4 - \\
 &\quad - \lambda_2^2(2M^6 + M^4(-4\hat{t} + 5t_1) + t_1(t_1 + t_2)^2 + 2M^2(\hat{t}^2 - 2\hat{t}t_1 + t_1(2t_1 + t_2))) + \\
 &\quad + 6M^6\lambda_p\hat{u} + 4M^4\lambda_p^2\hat{u} - 3M^6\hat{t}\hat{u} - 10M^4\lambda_p\hat{t}\hat{u} - 4M^2\lambda_p^2\hat{t}\hat{u} + 3M^4\hat{t}^2\hat{u} + \\
 &\quad + 4M^2\lambda_p\hat{t}^2\hat{u} + 8M^4\lambda_p t_1\hat{u} - M^4\hat{t}t_1\hat{u} - 4M^2\lambda_p\hat{t}t_1\hat{u} + 2M^2\lambda_p t_1^2\hat{u} + 3M^2\hat{t}t_1^2\hat{u} -
 \end{aligned}$$

Рис. 5. Диаграммы процесса  $R + R \rightarrow \mathcal{H} + g$ 

$$\begin{aligned}
& -2\lambda_p \hat{t} t_1^2 \hat{u} + \hat{t}^2 t_1^2 \hat{u} + \hat{t} t_1^3 \hat{u} - 3M^6 t_2 \hat{u} + 4M^4 \lambda_p t_2 \hat{u} - M^4 \hat{t} t_2 \hat{u} - 4M^2 \lambda_p \hat{t} t_2 \hat{u} + \\
& + 4M^2 \hat{t}^2 t_2 \hat{u} - 3M^4 t_1 t_2 \hat{u} + 2M^2 \hat{t} t_1 t_2 \hat{u} + 4\lambda_p \hat{t} t_1 t_2 \hat{u} - 2\hat{t}^2 t_1 t_2 \hat{u} - M^2 t_1^2 t_2 \hat{u} - \hat{t} t_1^2 t_2 \hat{u} - \\
& - t_1^3 t_2 \hat{u} - 4M^4 t_2^2 \hat{u} + 2M^2 \lambda_p t_2^2 \hat{u} + 3M^2 \hat{t} t_2^2 \hat{u} - 2\lambda_p \hat{t} t_2^2 \hat{u} + \hat{t}^2 t_2^2 \hat{u} - 2M^2 t_1 t_2^2 \hat{u} - \\
& - \hat{t} t_1 t_2^2 \hat{u} + 2t_1^2 t_2^2 \hat{u} - M^2 t_2^3 \hat{u} + \hat{t} t_2^3 \hat{u} - t_1 t_2^3 \hat{u} - 3M^4 \lambda_p \hat{u}^2 - 2M^2 \lambda_p^2 \hat{u}^2 + 3M^4 \hat{t} \hat{u}^2 + \\
& + 4M^2 \lambda_p \hat{t} \hat{u}^2 - 2M^2 \hat{t}^2 \hat{u}^2 - 4M^2 \lambda_p t_1 \hat{u}^2 + 4M^2 \hat{t} t_1 \hat{u}^2 - \lambda_p t_1^2 \hat{u}^2 + \hat{t} t_1^2 \hat{u}^2 + 2M^4 t_2 \hat{u}^2 + \\
& + 2M^2 t_1 t_2 \hat{u}^2 + 2\lambda_p t_1 t_2 \hat{u}^2 - 2\hat{t} t_1 t_2 \hat{u}^2 - \lambda_p t_2^2 \hat{u}^2 + \hat{t} t_2^2 \hat{u}^2 + (\lambda_q^2 M^2 (M^2 + t_1 + \\
& + t_2)^2 + \lambda_q \lambda_1 (M^2 + t_1 + t_2) (M^4 - M^2 (t_1 - 2t_2 + \hat{u}) + (t_1 + t_2) (t_2 + \hat{u})) - \lambda_1^2 (2M^6 + \\
& + t_2 (t_1 + t_2)^2 + M^4 (5t_2 - 4\hat{u}) + 2M^2 (t_1 t_2 + 2t_2^2 - 2t_2 \hat{u} + \hat{u}^2))) + \lambda_2 (3M^8 + \\
& + M^6 (4\lambda_p - 6\hat{t} + 7t_1 + 4t_2 - 3\hat{u}) + M^4 (3\hat{t}^2 + 5t_1^2 + 8t_1 t_2 + t_2^2 - 7t_1 \hat{u} - \\
& - 4\lambda_p (2\hat{t} - t_1 + \hat{u}) + \hat{t} (-5t_1 - 8t_2 + 7\hat{u})) + M^2 (t_1^3 + 6t_1^2 t_2 + t_1 t_2^2 + 4\hat{t}^2 (t_2 - \hat{u}) - \\
& - 5t_1^2 \hat{u} + 2t_1 t_2 \hat{u} - t_2^2 \hat{u} + 4\lambda_p (\hat{t} - t_1) (\hat{t} + \hat{u}) + 2\hat{t} (t_1^2 - 2t_1 t_2 - t_2^2 + 4t_1 \hat{u})) + \\
& + (t_1 - t_2) (\hat{t}^2 (t_1 - t_2) + t_1 (t_1 (2t_2 - \hat{u}) + t_2 (2t_2 + \hat{u})) + \hat{t} (t_1^2 - t_2 \hat{u} + t_1 (3t_2 + \hat{u})))) +
\end{aligned}$$

$$\begin{aligned}
 & + (\lambda_q \lambda_2 (M^2 + t_1 + t_2) (M^4 - M^2 (\hat{t} - 2t_1 + t_2) + (\hat{t} + t_1)(t_1 + t_2)) + \\
 & + \lambda_q (-3M^8 + M^6 (-5\lambda_p + 3\hat{t} - 7t_1 - 7t_2 + 3\hat{u}) + (t_1 + t_2)^2 (-\lambda_p (\hat{t} + \hat{u}) + \\
 & + (\hat{t} + t_1)(t_2 + \hat{u})) + M^4 (-5t_1^2 - 11t_1 t_2 - 5t_2^2 + \hat{t}(4t_1 + 7t_2 - \hat{u}) + 7t_1 \hat{u} + 4t_2 \hat{u} + \\
 & + \lambda_p (5\hat{t} - 4t_1 - 4t_2 + 5\hat{u})) + M^2 (\lambda_p (t_1^2 + 4\hat{t} t_2 - 2t_1 t_2 + t_2^2 - 4\hat{t} \hat{u} + 4t_1 \hat{u}) + \\
 & + (t_1 + t_2) (-t_1^2 - 2t_1 t_2 - t_2^2 + \hat{t}(t_1 + 5t_2) + 5t_1 \hat{u} + t_2 \hat{u})) + \lambda_1 (3M^8 + M^6 (4\lambda_p - \\
 & - 3\hat{t} + 4t_1 + 7t_2 - 6\hat{u}) + M^4 (t_1^2 - 7\hat{t} t_2 + 5t_2^2 + 8t_1(t_2 - \hat{u}) + 7\hat{t} \hat{u} - 5t_2 \hat{u} + 3\hat{u}^2 - \\
 & - 4\lambda_p (\hat{t} - t_2 + 2\hat{u})) - (t_1 - t_2) (2t_1^2 t_2 + \hat{t}(t_1 - t_2)(t_2 - \hat{u}) + t_2 \hat{u}(t_2 + \hat{u}) + t_1(2t_2^2 + \\
 & + 3t_2 \hat{u} - \hat{u}^2)) + M^2 (t_2^3 + t_1^2 (t_2 - 2\hat{u}) - 4\lambda_p t_2 \hat{u} + 2t_2^2 \hat{u} + 4\lambda_p \hat{u}^2 - \hat{t}(t_1^2 - 2t_1 t_2 + \\
 & + 5t_2^2 + 4\lambda_p (t_2 - \hat{u}) - 8t_2 \hat{u} + 4\hat{u}^2) + t_1(6t_2^2 - 4t_2 \hat{u} + 4\hat{u}^2))), \quad (69)
 \end{aligned}$$

где  $\hat{s} = (k_1 + k_2)^2$ ,  $\hat{t} = (k_1 - p)^2$  и  $\hat{u} = (k_2 - p)^2$ , как обычно, стандартные мандельштамовские переменные подпроцесса (65).

Соответствующий (69) результат в коллинеарной партонной модели для подпроцесса (24) может быть получен в результате предельного перехода (59); он совпадает с формулой (25).

Учитывая кинематику подпроцесса  $2 \rightarrow 1$  (64) и определение (55), дифференциальное сечение адронного рождения кваркония  $\mathcal{H}$  можно записать в виде

$$\begin{aligned}
 \frac{d\sigma(p + p \rightarrow \mathcal{H} + X)}{d|\mathbf{p}_T| dy_p} &= \frac{|\mathbf{p}_T|}{8} \int \frac{d^2 q_{1T}}{|\mathbf{q}_{1T}|^2} \int \frac{d^2 q_{2T}}{|\mathbf{q}_{2T}|^2} \Phi(\xi_1, |\mathbf{q}_{1T}|^2, \mu^2) \times \\
 &\times \delta^{(2)}(\mathbf{q}_{1T} + \mathbf{q}_{1T} - \mathbf{p}_T) \Phi(\xi_2, |\mathbf{q}_{2T}|^2, \mu^2) \overline{|\mathcal{A}(R + R \rightarrow \mathcal{H})|^2}. \quad (70)
 \end{aligned}$$

В случае подпроцесса  $2 \rightarrow 2$  (65) дифференциальное сечение записывается несколько иначе:

$$\begin{aligned}
 \frac{d\sigma(p + p \rightarrow \mathcal{H} + X)}{d|\mathbf{p}_T| dy_p} &= \frac{|\mathbf{p}_T|}{128\pi^3} \int \frac{d^2 q_{1T}}{|\mathbf{q}_{1T}|^2} \int \frac{d^2 q_{2T}}{|\mathbf{q}_{2T}|^2} \int \frac{dx_2}{x_2 - \xi_2} \times \\
 &\times \Phi(x_1, |\mathbf{q}_{1T}|^2, \mu^2) \Phi(x_2, |\mathbf{q}_{2T}|^2, \mu^2) \overline{|\mathcal{A}(R + R \rightarrow \mathcal{H} + g)|^2}, \quad (71)
 \end{aligned}$$

где

$$x_1 = \frac{1}{(x_2 - \xi_2)S} \left( (\mathbf{q}_{1T} + \mathbf{q}_{2T} - \mathbf{p}_T)^2 - M^2 - |\mathbf{p}_T|^2 + x_2 \xi_1 S \right), \quad (72)$$

а  $\xi_1$  и  $\xi_2$  можно представить в виде  $\xi_1 = \frac{p^+}{P_1^-}$ ,  $\xi_2 = \frac{p^-}{P_2^+}$ .

## 5. РОЖДЕНИЕ ТЯЖЕЛЫХ КВАРКОНИЕВ НА КОЛЛАЙДЕРЕ ТЭВАТРОН

Экспериментальные данные для  $p_T$ -спектров чармониев (здесь и далее  $p_T = |p_T|$ ,  $y = y_p$  и  $\eta = \eta_p$ ), полученные коллаборацией CDF (I этап работы) [1] ( $\sqrt{S} = 1,8$  ТэВ,  $5 < p_T < 20$  ГэВ,  $|\eta| < 0,6$ ), включают в себя спектры  $J/\psi$ -мезонов от распадов  $B$ -мезонов, от распадов  $\chi_{cJ}$ -мезонов,  $\psi'$ -мезонов, а также  $p_T$ -спектры прямых (direct)  $J/\psi$ -мезонов. Данные CDF (II этап работы) при энергии  $\sqrt{S} = 1,96$  ТэВ [2] ( $|y| < 0,6$ ) представлены в более широкой области поперечных импульсов  $J/\psi$ -мезонов:  $0 < p_T < 20$  ГэВ. Однако при энергии  $\sqrt{S} = 1,96$  ТэВ в настоящее время выделены только два вклада в спектр  $J/\psi$ -мезонов: от распадов  $B$ -мезонов и суммарный (prompt) вклад от прямых  $J/\psi$ -мезонов,  $J/\psi$  от распадов  $\chi_{cJ}$  и  $\psi'$ . Коллаборацией CDF опубликованы данные по  $p_T$ -спектрам  $S$ -волновых боттомониев  $\Upsilon(1S)$ ,  $\Upsilon(2S)$ ,  $\Upsilon(3S)$  при  $\sqrt{S} = 1,8$  ТэВ [3] ( $|y| < 0,4$ ) и по  $p_T$ -спектрам  $\Upsilon(1S)$ -мезонов в различных интервалах по быстроте при  $\sqrt{S} = 1,96$  ТэВ [4] ( $|y| < 1,8$ ). При этом, если не учитывать гипотетический вклад от распадов  $\chi_{bJ}(3P)$ -состояний,  $\Upsilon(3S)$  рождаются только напрямую, а спектры  $\Upsilon(2S)$  и  $\Upsilon(1S)$  включают в себя прямой вклад и вклад от распадов более высоко лежащих  $S$ - и  $P$ -волновых состояний боттомония, включая каскадные переходы, например:  $\Upsilon(3S) \rightarrow \chi_{b1}(2P) \rightarrow \Upsilon(1S)$ .

В результате фитирования полного набора данных по  $p_T$ -спектрам  $J/\psi$ - и  $\Upsilon$ -мезонов мы определили значения октетных НМЭ  $\langle \mathcal{O}^{\mathcal{H}[2S+1]L_J^{(8)}} \rangle$  для трех неколлинеарных функций распределения глюонов в протоне: JB [27], JS [28] и KMR [29]. Синглетные по цвету НМЭ не фитируются, так как могут быть извлечены из измеренных ширин распадов  $\psi(nS) \rightarrow l^+l^-$ ,  $\Upsilon(nS) \rightarrow e^+e^-$  и  $\chi_{c2} \rightarrow \gamma\gamma$  [30, 31], а если это невозможно из-за отсутствия экспериментальных данных по ширинам распадов, то используются значения, полученные теоретически на основе потенциальной кварковой модели [22].

В табл. 1 представлены результаты проведенного нами фитирования НМЭ для чармониев в КППМ при использовании коллинеарной функции распределения GRV LO [36] и в КМПК при использовании неинтегрированных функций распределения глюонов в протоне: JB [27], JS [28] и KMR [29]. Данные коллаборации CDF по прямому рождению  $J/\psi$ -мезонов для I [1] и II [2] этапов работы тэватрона были исключены из процедуры фитирования для функции распределения JB, так как учет этих данных приводит к значениям  $\chi^2/\text{d.o.f.} > 20$ .

На рис. 6 показан  $p_T$ -спектр рождения прямых (direct)  $J/\psi$ -мезонов при  $\sqrt{S} = 1,8$  ТэВ и  $|\eta| < 0,6$ . Кривая 1 — вклад синглетного по цвету НМЭ  $\langle \mathcal{O}^{J/\psi[3S_1^{(1)}} \rangle$ , 2 — суммарный вклад октетных НМЭ  $\langle \mathcal{O}^{J/\psi[3S_1^{(8)}} \rangle$ ,  $\langle \mathcal{O}^{J/\psi[1S_0^{(8)}} \rangle$  и  $\langle \mathcal{O}^{J/\psi[3P_J^{(8)}} \rangle$ , 3 — сумма вкладов 1 и 2.  $B$  означает от-

Таблица 1. Непертурбативные матричные элементы для  $\psi(nS)$ - и  $\chi_{cJ}(1P)$ -мезонов, полученные при фитировании в рамках КПМ с применением функции распределения глюонов в протоне GRV LO [36] и в подходе КМРК при использовании неинтегрированных функций распределения глюонов в протоне: JB [27], JS [28] и KMR [29]

HMЭ	Фит GRV LO	Фит JB	Фит JS	Фит KMR
$\frac{\langle \mathcal{O}^{J/\psi} [{}^3S_1^{(1)}] \rangle}{\Gamma_{\psi B^3}}$	1,3±0,1	1,3±0,1	1,3±0,1	1,3±0,1
$\frac{\langle \mathcal{O}^{J/\psi} [{}^3S_1^{(8)}] \rangle}{\Gamma_{\psi B^3}}$	$(7,6 \pm 0,3) \cdot 10^{-3}$	$(1,5 \pm 0,1) \cdot 10^{-3}$	$(6,1 \pm 0,2) \cdot 10^{-3}$	$(2,7 \pm 0,1) \cdot 10^{-3}$
$\frac{\langle \mathcal{O}^{J/\psi} [{}^1S_0^{(8)}] \rangle}{\Gamma_{\psi B^3}}$	—	$(6,6 \pm 2,3) \cdot 10^{-3}$	$(9,0 \pm 0,6) \cdot 10^{-3}$	$(1,4 \pm 0,1) \cdot 10^{-2}$
$\frac{\langle \mathcal{O}^{J/\psi} [{}^3P_0^{(8)}] \rangle}{\Gamma_{\psi B^5}}$	—	$(0,0 \pm 7,0) \cdot 10^{-4}$	$(0,0 \pm 6,6) \cdot 10^{-5}$	$(0,0 \pm 3,5) \cdot 10^{-5}$
$\frac{M_{3,4}^{J/\psi}}{\Gamma_{\psi B^3}}$	$(5,3 \pm 0,3) \cdot 10^{-2}$	$(6,6 \pm 5,4) \cdot 10^{-3}$	$(9,0 \pm 0,7) \cdot 10^{-3}$	$(1,4 \pm 0,1) \cdot 10^{-2}$
$\frac{\langle \mathcal{O}^{\psi'} [{}^3S_1^{(1)}] \rangle}{\Gamma_{\psi B^3}}$	$(6,5 \pm 0,6) \cdot 10^{-1}$	$(6,5 \pm 0,6) \cdot 10^{-1}$	$(6,5 \pm 0,6) \cdot 10^{-1}$	$(6,5 \pm 0,6) \cdot 10^{-1}$
$\frac{\langle \mathcal{O}^{\psi'} [{}^3S_1^{(8)}] \rangle}{\Gamma_{\psi B^3}}$	$(2,6 \pm 0,2) \cdot 10^{-3}$	$(3,0 \pm 0,5) \cdot 10^{-4}$	$(1,5 \pm 0,2) \cdot 10^{-3}$	$(8,3 \pm 0,9) \cdot 10^{-4}$
$\frac{\langle \mathcal{O}^{\psi'} [{}^1S_0^{(8)}] \rangle}{\Gamma_{\psi B^3}}$	—	$(0,0 \pm 3,5) \cdot 10^{-4}$	$(0,0 \pm 3,9) \cdot 10^{-4}$	$(0,0 \pm 5,8) \cdot 10^{-4}$
$\frac{\langle \mathcal{O}^{\psi'} [{}^3P_0^{(8)}] \rangle}{\Gamma_{\psi B^5}}$	—	$(0,0 \pm 1,0) \cdot 10^{-4}$	$(0,0 \pm 7,1) \cdot 10^{-5}$	$(0,0 \pm 5,3) \cdot 10^{-5}$
$\frac{M_{3,5}^{\psi'}}{\Gamma_{\psi B^3}}$	$(4,1 \pm 4,4) \cdot 10^{-3}$	$(0,0 \pm 4,9) \cdot 10^{-4}$	$(0,0 \pm 4,9) \cdot 10^{-5}$	$(0,0 \pm 6,5) \cdot 10^{-4}$
$\frac{\langle \mathcal{O}^{\chi_{c0}} [{}^3P_0^{(1)}] \rangle}{\Gamma_{\psi B^5}}$	$(8,9 \pm 1,3) \cdot 10^{-2}$	$(8,9 \pm 1,3) \cdot 10^{-2}$	$(8,9 \pm 1,3) \cdot 10^{-2}$	$(8,9 \pm 1,3) \cdot 10^{-2}$
$\frac{\langle \mathcal{O}^{\chi_{c0}} [{}^3S_1^{(8)}] \rangle}{\Gamma_{\psi B^3}}$	$(6,8 \pm 1,3) \cdot 10^{-4}$	$(0,0 \pm 4,0) \cdot 10^{-6}$	$(2,2 \pm 0,9) \cdot 10^{-4}$	$(4,7 \pm 4,7) \cdot 10^{-5}$
$\frac{\chi^2}{\text{d.o.f.}}$	1,7	2,2	4,1	3,0

носительную ширину лептонного распада  $J/\psi$ -мезонов. На рис. 6, а показаны теоретические расчеты в рамках КПМ с применением параметризации GRV LO [36] коллинеарной функции распределения глюонов в протоне. Теоретические результаты, полученные в КМРК с использованием неинтегрированных глюонных распределений, показаны на следующих рисунках: JB [27] — рис. 6, б, JS [28] — рис. 6, в и KMR [29] — рис. 6, г. На рис. 6 видно, что при больших  $p_T$ ,  $p_T > 10$  ГэВ, основной вклад в прямое (direct) рождение  $J/\psi$ -мезонов дает октетное состояние  $\langle \mathcal{O}^{J/\psi} [{}^3S_1^{(8)}] \rangle$ , так же

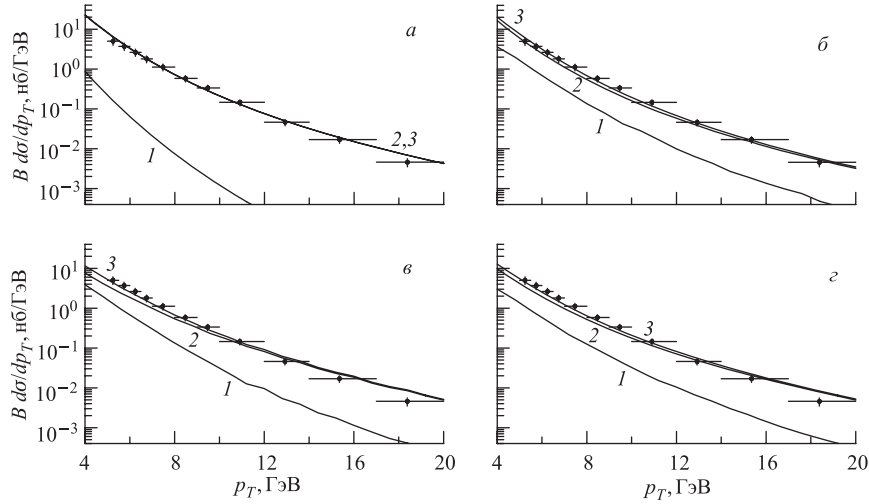


Рис. 6. Спектр рождения прямых (direct)  $J/\psi$ -мезонов по поперечному импульсу ( $p_T$ ) при  $\sqrt{S} = 1,8$  ТэВ и  $|\eta| < 0,6$  на коллайдере тэватрон [1]: а) расчеты в КПМ с использованием функции распределения глюонов в протоне GRV LO [36]; б) расчеты в КМРК с применением неинтегрированной функции распределения глюонов в протоне JB [27]; в) то же с применением JS [28]; г) то же при использовании KMR [29]. Кривая 1 — вклад синглетного механизма рождения; 2 — вклад октетного механизма; 3 — сумма вкладов 1 и 2.  $B$  — относительная вероятность распада  $J/\psi \rightarrow \mu^+ \mu^-$

как и в КПМ. Причем среднее по различным неинтегрированным функциям распределения значение октетного НМЭ  $\langle \mathcal{O}^{J/\psi} [{}^3S_1^{(8)}] \rangle$  очень близко к величине, полученной ранее в КПМ. В то же время вклад синглетного НМЭ  $\langle \mathcal{O}^{J/\psi} [{}^3S_1^{(1)}] \rangle$  в подходе КМРК существенно выше, чем в КПМ, особенно в области малых  $p_T$ .

Мы нашли, что в подходе КМРК, в отличие от КПМ, НМЭ  $\langle \mathcal{O}^{\psi'} [{}^3P_0^{(8)}] \rangle$  и  $\langle \mathcal{O}^{\psi'} [{}^1S_0^{(8)}] \rangle$  имеют значения, близкие к нулю, независимо от выбора неинтегрированной функции распределения глюонов. В случае рождения  $J/\psi$ -мезонов в распадах  $\psi'$ -мезонов (рис. 7) это означает, что каналы рождения только через промежуточные  ${}^3S_1^{(1)}$ - и  ${}^3S_1^{(8)}$ -состояния удовлетворительно описывают экспериментальные данные. Вклад синглетного механизма рождения в КМРК на порядок выше, чем в КПМ, но все еще недостаточен для описания экспериментальных данных.

Фитирование данных для  $J/\psi$ -мезонов, рожденных в радиационных распадах  $\chi_{cJ}$ -мезонов, наиболее простое, так как имеется лишь один свободный параметр  $\langle \mathcal{O}^{\chi_{c0}} [{}^3S_1^{(8)}] \rangle$ . Мы подтверждаем вывод работы [15], что в подходе,



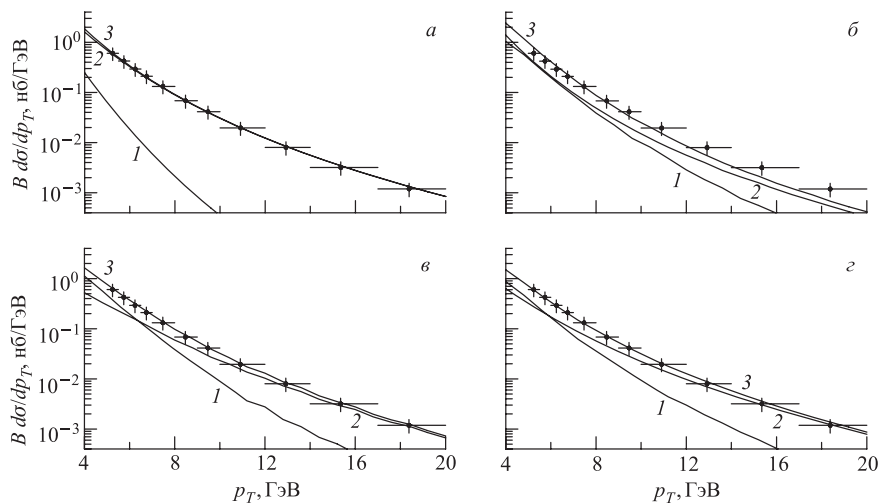


Рис. 7. Спектр рождения  $J/\psi$ -мезонов, полученных в результате распадов  $\psi'$ -мезонов по поперечному импульсу ( $p_T$ ) при  $\sqrt{S} = 1,8$  ТэВ и  $|\eta| < 0,6$  на коллайдере тэватрон [1]. Обозначения, как на рис. 6

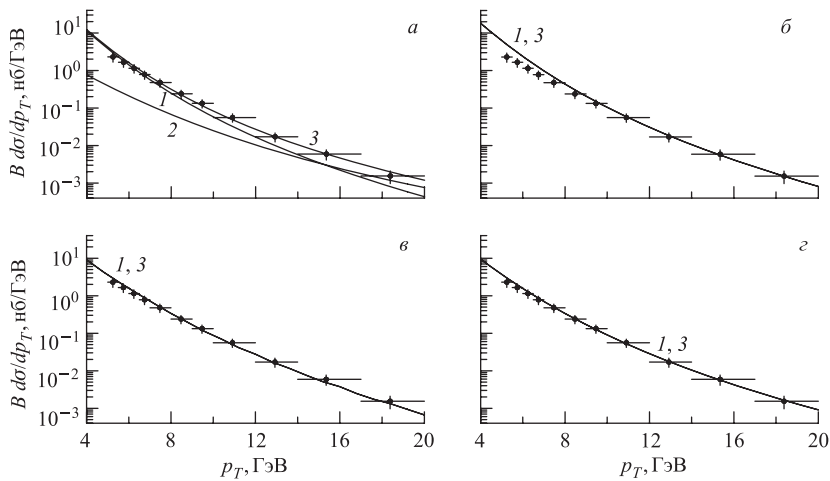


Рис. 8. Спектр рождения  $J/\psi$ -мезонов, полученных в результате распадов  $\chi_{cJ}$ -мезонов по поперечному импульсу ( $p_T$ ) при  $\sqrt{S} = 1,8$  ТэВ и  $|\eta| < 0,6$  на коллайдере тэватрон [1]. Обозначения, как на рис. 6

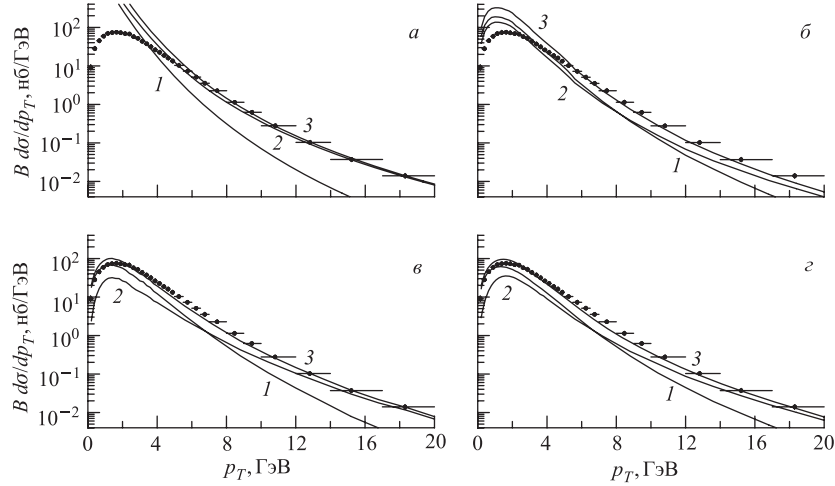


Рис. 9. Суммарный (prompt) спектр рождения  $J/\psi$ -мезонов по поперечному импульсу ( $p_T$ ) при  $\sqrt{S} = 1,96$  ТэВ и  $|y| < 0,6$  на коллайдере тэватрон [2]. Обозначения, как на рис. 6

учитывающем БФКЛ-динамику начальных глюонов, спектры  $P$ -волновых чармониев могут быть описаны только в рамках синглетного механизма рождения, что демонстрирует рис. 8, на котором показан  $p_T$ -спектр рождения  $J/\psi$ -мезонов от распадов  $\chi_{cJ}$ . Наилучший фит получается, когда значение октетного НМЭ  $\langle \mathcal{O}^{\chi_{c0}} [{}^3S_1^{(8)}] \rangle$  полагается равным нулю. В случае функции распределения JB [27] при фитировании возникают нефизические отрицательные значения  $\langle \mathcal{O}^{\chi_{c0}} [{}^3S_1^{(8)}] \rangle$ , так как вклад синглетного НМЭ превышает экспериментальные данные при  $p_T < 8$  ГэВ. Это приводит к большим значениям функции  $\chi^2$ , указывающим на невозможность достоверного описания данных с неколлинеарным распределением JB [27].

На рис. 9 представлен суммарный (prompt)  $p_T$ -спектр  $J/\psi$ -мезонов при  $\sqrt{S} = 1,96$  ТэВ. Мы видим, что в области малых  $p_T$ ,  $p_T < 5$  ГэВ, преобладает вклад синглетного механизма рождения, в основном от распадов  $\chi_{cJ}$ -мезонов, а в области  $p_T > 5$  ГэВ преобладает вклад прямого (direct) механизма рождения, обусловленного вкладом октетных НМЭ. Вклад от распадов  $\psi'$ -мезонов не превышает нескольких процентов при всех значениях  $p_T$ . На рис. 9 видно хорошее согласие между теоретическими предсказаниями и экспериментальными данными [2] в случае неколлинеарных функций распределения глюонов в протоне JS [28] и KMR [29]. В случае функции распределения JB [27] имеется существенное превышение в области  $p_T < 5$  ГэВ, которое невозможно

исключить выбором октетных НМЭ. Причина расхождения — в быстром росте функции распределения  $\Phi(x, |\mathbf{q}_T|^2, \mu^2)$  при  $|\mathbf{q}_T| \rightarrow \mathbf{0}$  для JB [27]. В отличие от функции распределения JB [27] функции распределения JS [28] и KMR [29] предсказывают меньшие значения  $\Phi(x, |\mathbf{q}_T|^2, \mu^2)$ , слабо зависящие от  $|\mathbf{q}_T|$  в этой области. Другим принципиальным положительным отличием подхода КМРК от КПМ является описание экспериментальных спектров чармониев в области  $p_T < 6$  ГэВ, что также демонстрирует рис. 9.

Анализ октетных НМЭ для  $J/\psi$ -,  $\psi'$ - и  $\chi_{cJ}$ -мезонов, полученных фитированием в подходе КМРК, показывает, что переход из промежуточного октетного состояния в конечное синглетное удовлетворяет приближенным правилам:  $\Delta L \simeq 0$  и  $\Delta S \simeq 0$ , т.е. является дважды хромозлектрическим и сохраняет спин и угловой момент связанного состояния тяжелых кварков. Следует также отметить, что ранее в КПМ фитирование данных CDF [1] осуществлялось при  $p_T > 5$  ГэВ, где вклады НМЭ  $\langle \mathcal{O}^{\mathcal{H}}[{}^1S_0^{(8)}] \rangle$  и  $\langle \mathcal{O}^{\mathcal{H}}[{}^3P_0^{(8)}] \rangle$  для  $\mathcal{H} = J/\psi, \psi'$  невозможно было разделить, и результатом фита являлось получение их комбинации:

$$M_r^{\mathcal{H}} = \langle \mathcal{O}^{\mathcal{H}}[{}^1S_0^{(8)}] \rangle + \frac{r}{m_c^2} \langle \mathcal{O}^{\mathcal{H}}[{}^3P_0^{(8)}] \rangle. \quad (73)$$

В нашей работе фитирование экспериментальных данных в подходе КМРК осуществляется для всех  $p_T$ . Принимая во внимание, что зависимость от  $p_T$  вкладов НМЭ  $\langle \mathcal{O}^{\mathcal{H}}[{}^1S_0^{(8)}] \rangle$  и  $\langle \mathcal{O}^{\mathcal{H}}[{}^3P_0^{(8)}] \rangle$  при  $p_T < 5$  ГэВ различна [17, 32], мы смогли их разделить, что показано в табл. 1.

Как хорошо известно, сечение рождения боттомониев, измеренное на коллайдере тэватрон при больших  $p_T$ , примерно на порядок величины больше, чем предсказание, полученное в модели цветных синглетов в КПМ [14]. Учет октетного механизма рождения боттомониев в рамках КПМ позволяет улучшить согласие расчетов с экспериментом в области  $p_T \gtrsim 10$  ГэВ, но не позволяет описать данные при всех значениях  $p_T$ . С другой стороны, форму  $p_T$ -спектров боттомониев можно описать в модели испарения цвета [33] при учете эффектов, связанных с испусканием мягких глюонов в области  $p_T < M$ . Однако общая нормировка сечений рождения боттомониев не может быть предсказана в этом подходе [33, 34].

Результаты фитирования октетных НМЭ для боттомониев представлены в табл. 2 [35]. Фитирование проводилось на основе КПМ при использовании параметризации GRV LO [36] коллинеарной функции распределения глюонов и на основе КМРК с применением неинтегрированных функций распределения глюонов в протоне: JB [27], JS [28] и KMR [29]. На рис. 10–12 показаны рассчитанные нами  $p_T$ -спектры  $\Upsilon(1S)$ -,  $\Upsilon(2S)$ - и  $\Upsilon(3S)$ -мезонов, соответственно, при  $\sqrt{S} = 1,8$  ТэВ. Обозначения кривых такие же, как на рис. 6. Показано, что в случае рождения  $\Upsilon(3S)$ -мезонов вклад октетного механизма

Таблица 2. Непертурбативные матричные элементы для  $\Upsilon(nS)$ - и  $\chi_{bJ}(nP)$ -мезонов, полученные при фитировании в рамках КПМ с применением функции распределения глюонов в протоне GRV LO [36] и в подходе КМРК при использовании неинтегрированных функций распределения глюонов в протоне: JB [27], JS [28] и KMR [29]

HMЭ	Фит GRV LO	Фит JB	Фит JS	Фит KMR
$\frac{\langle \mathcal{O}^{\Upsilon(1S)} [{}^3S_1^{(1)}] \rangle}{\Gamma_{\Theta B^3}}$	10,9±1,6	10,9±1,6	10,9±1,6	10,9±1,6
$\frac{\langle \mathcal{O}^{\Upsilon(1S)} [{}^3S_1^{(8)}] \rangle}{\Gamma_{\Theta B^3}}$	$(4,0 \pm 1,7) \cdot 10^{-2}$	$(5,3 \pm 0,5) \cdot 10^{-3}$	$(0,0 \pm 1,8) \cdot 10^{-4}$	$(0,0 \pm 3,1) \cdot 10^{-3}$
$\frac{\langle \mathcal{O}^{\Upsilon(1S)} [{}^1S_0^{(8)}] \rangle}{\Gamma_{\Theta B^3}}$	—	$(0,0 \pm 4,7) \cdot 10^{-4}$	$(0,0 \pm 5,2) \cdot 10^{-5}$	$(0,0 \pm 4,3) \cdot 10^{-3}$
$\frac{\langle \mathcal{O}^{\Upsilon(1S)} [{}^3P_0^{(8)}] \rangle}{\Gamma_{\Theta B^5}}$	—	$(0,0 \pm 1,3) \cdot 10^{-3}$	$(0,0 \pm 1,6) \cdot 10^{-4}$	$(9,5 \pm 2,0) \cdot 10^{-2}$
$\frac{M_5^{\Upsilon(1S)}}{\Gamma_{\Theta B^3}}$	$(1,4 \pm 9,2) \cdot 10^{-2}$	$(0,0 \pm 7,6) \cdot 10^{-4}$	$(0,0 \pm 8,7) \cdot 10^{-5}$	$(2,1 \pm 0,9) \cdot 10^{-2}$
$\frac{\langle \mathcal{O}^{\chi_{b0}(1P)} [{}^3P_0^{(1)}] \rangle}{\Gamma_{\Theta B^5}}$	2,4±0,4	2,4±0,4	2,4±0,4	2,4±0,4
$\frac{\langle \mathcal{O}^{\chi_{b0}(1P)} [{}^3S_1^{(8)}] \rangle}{\Gamma_{\Theta B^3}}$	$(0,0 \pm 7,8) \cdot 10^{-3}$	$(0,0 \pm 2,1) \cdot 10^{-3}$	$(0,0 \pm 8,4) \cdot 10^{-5}$	$(0,0 \pm 1,4) \cdot 10^{-3}$
$\frac{\langle \mathcal{O}^{\Upsilon(2S)} [{}^3S_1^{(1)}] \rangle}{\Gamma_{\Theta B^3}}$	4,5±0,7	4,5±0,7	4,5±0,7	4,5±0,7
$\frac{\langle \mathcal{O}^{\Upsilon(2S)} [{}^3S_1^{(8)}] \rangle}{\Gamma_{\Theta B^3}}$	$(0,0 \pm 2,5) \cdot 10^{-2}$	$(0,0 \pm 5,9) \cdot 10^{-3}$	$(0,0 \pm 4,1) \cdot 10^{-4}$	$(3,3 \pm 0,8) \cdot 10^{-2}$
$\frac{\langle \mathcal{O}^{\Upsilon(2S)} [{}^1S_0^{(8)}] \rangle}{\Gamma_{\Theta B^3}}$	—	$(0,0 \pm 9,2) \cdot 10^{-4}$	$(0,0 \pm 8,3) \cdot 10^{-5}$	$(0,0 \pm 3,7) \cdot 10^{-3}$
$\frac{\langle \mathcal{O}^{\Upsilon(2S)} [{}^3P_0^{(8)}] \rangle}{\Gamma_{\Theta B^5}}$	—	$(0,0 \pm 2,6) \cdot 10^{-3}$	$(0,0 \pm 2,8) \cdot 10^{-4}$	$(0,0 \pm 1,6) \cdot 10^{-2}$
$\frac{M_5^{\Upsilon(2S)}}{\Gamma_{\Theta B^3}}$	$(0,0 \pm 6,6) \cdot 10^{-2}$	$(0,0 \pm 1,5) \cdot 10^{-3}$	$(0,0 \pm 1,4) \cdot 10^{-4}$	$(0,0 \pm 7,2) \cdot 10^{-3}$
$\frac{\langle \mathcal{O}^{\chi_{b0}(2P)} [{}^3P_0^{(1)}] \rangle}{\Gamma_{\Theta B^5}}$	2,6±0,5	2,6±0,5	2,6±0,5	2,6±0,5
$\frac{\langle \mathcal{O}^{\chi_{b0}(2P)} [{}^3S_1^{(8)}] \rangle}{\Gamma_{\Theta B^3}}$	$(7,7 \pm 1,7) \cdot 10^{-2}$	$(1,1 \pm 0,4) \cdot 10^{-2}$	$(0,0 \pm 2,8) \cdot 10^{-4}$	$(0,0 \pm 5,7) \cdot 10^{-3}$
$\frac{\langle \mathcal{O}^{\Upsilon(3S)} [{}^3S_1^{(1)}] \rangle}{\Gamma_{\Theta B^3}}$	4,3±0,9	4,3±0,9	4,3±0,9	4,3±0,9
$\frac{\langle \mathcal{O}^{\Upsilon(3S)} [{}^3S_1^{(8)}] \rangle}{\Gamma_{\Theta B^3}}$	$(3,9 \pm 1,4) \cdot 10^{-2}$	$(1,4 \pm 0,3) \cdot 10^{-2}$	$(5,9 \pm 4,2) \cdot 10^{-3}$	$(1,1 \pm 0,4) \cdot 10^{-2}$

Продолжение табл. 2

НМЭ	Фит GRV LO	Фит JB	Фит JS	Фит KMR
$\frac{\langle \mathcal{O}^{\Upsilon(3S)} [^1S_0^{(8)}] \rangle}{\Gamma_B^3}$	—	$(0,0 \pm 2,6) \cdot 10^{-3}$	$(0,0 \pm 8,1) \cdot 10^{-4}$	$(0,0 \pm 2,7) \cdot 10^{-3}$
$\frac{\langle \mathcal{O}^{\Upsilon(3S)} [^3P_0^{(8)}] \rangle}{\Gamma_B^3}$	—	$(2,4 \pm 0,8) \cdot 10^{-2}$	$(3,4 \pm 4,2) \cdot 10^{-3}$	$(5,2 \pm 1,1) \cdot 10^{-2}$
$\frac{M_5^{\Upsilon(3S)}}{\Gamma_B^3}$	$(7,7 \pm 7,4) \cdot 10^{-2}$	$(5,2 \pm 4,4) \cdot 10^{-3}$	$(7,4 \pm 10,2) \cdot 10^{-4}$	$(1,1 \pm 0,5) \cdot 10^{-2}$
$\frac{\langle \mathcal{O}^{\chi_{b0}(3P)} [^3P_0^{(1)}] \rangle}{\Gamma_B^3}$	$2,7 \pm 0,7$	$2,7 \pm 0,7$	$2,7 \pm 0,7$	$2,7 \pm 0,7$
$\frac{\chi^2}{\text{d.o.f.}}$	0,5	2,9	27	0,5

необходим для описания экспериментальных данных в подходе КМРК. Однако уже для  $\Upsilon(2S)$ -, а особенно для  $\Upsilon(1S)$ -мезонов, вклад синглетного механизма является доминирующим. Сравнивая значения НМЭ для чармониев и боттомониев, мы видим, что вклад октетного механизма рождения для боттомониев подавлен относительно вклада для чармониев. Последнее согласуется

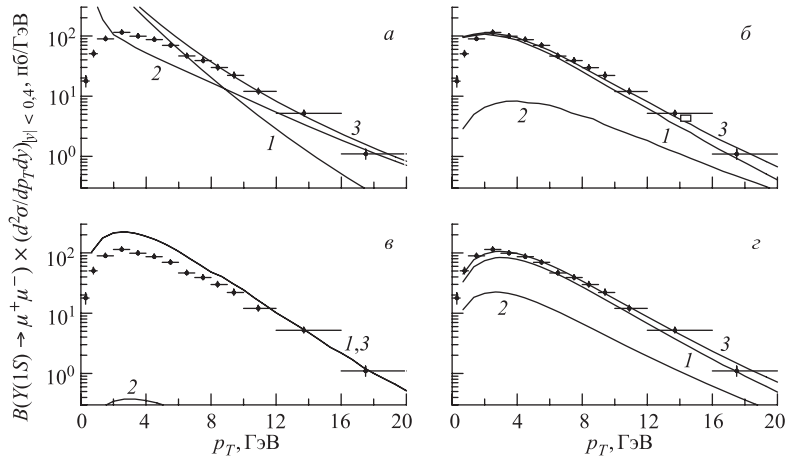


Рис. 10. Дважды дифференциальный спектр рождения  $\Upsilon(1S)$ -мезонов по поперечному импульсу ( $p_T$ ) и усредненный по быстроте ( $|y| < 0,4$ ) при  $\sqrt{s} = 1,8$  ТэВ на коллайдере тэватрон [3].  $B(\Upsilon(1S) \rightarrow \mu^+ \mu^-)$  — относительная вероятность распада  $\Upsilon(1S) \rightarrow \mu^+ \mu^-$ . Обозначения, как на рис. 6

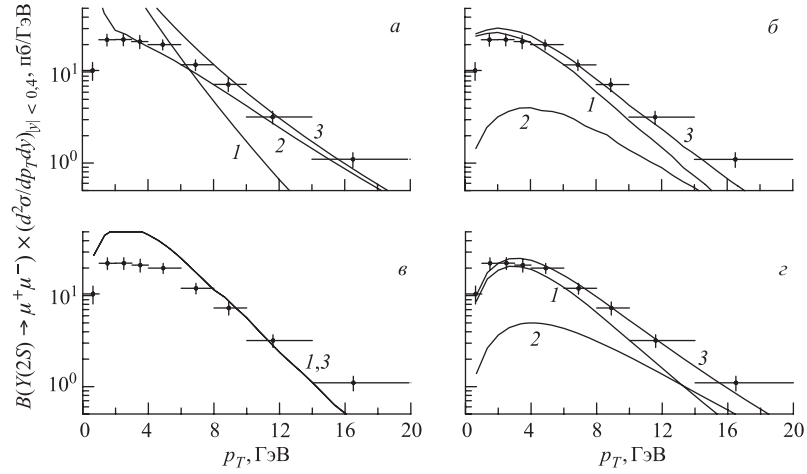


Рис. 11. Дважды дифференциальный спектр рождения  $\Upsilon(2S)$ -мезонов по поперечному импульсу ( $p_T$ ) и усредненный по быстрой ( $|y| < 0,4$ ) при  $\sqrt{S} = 1,8$  ТэВ на коллайдере тэватрон [3].  $B(\Upsilon(2S) \rightarrow \mu^+\mu^-)$  — относительная вероятность распада  $\Upsilon(2S) \rightarrow \mu^+\mu^-$ . Обозначения, как на рис. 6

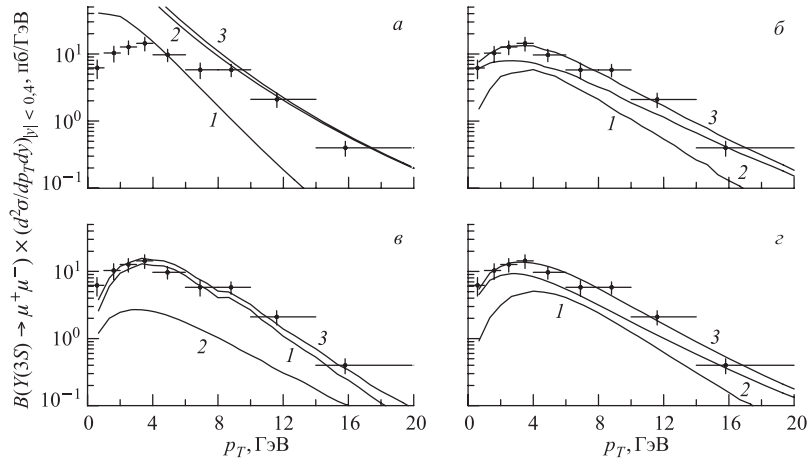


Рис. 12. Дважды дифференциальный спектр рождения  $\Upsilon(3S)$ -мезонов по поперечному импульсу ( $p_T$ ) и усредненный по быстрой ( $|y| < 0,4$ ) при  $\sqrt{S} = 1,8$  ТэВ на коллайдере тэватрон [3].  $B(\Upsilon(3S) \rightarrow \mu^+\mu^-)$  — относительная вероятность распада  $\Upsilon(3S) \rightarrow \mu^+\mu^-$ . Обозначения, как на рис. 6

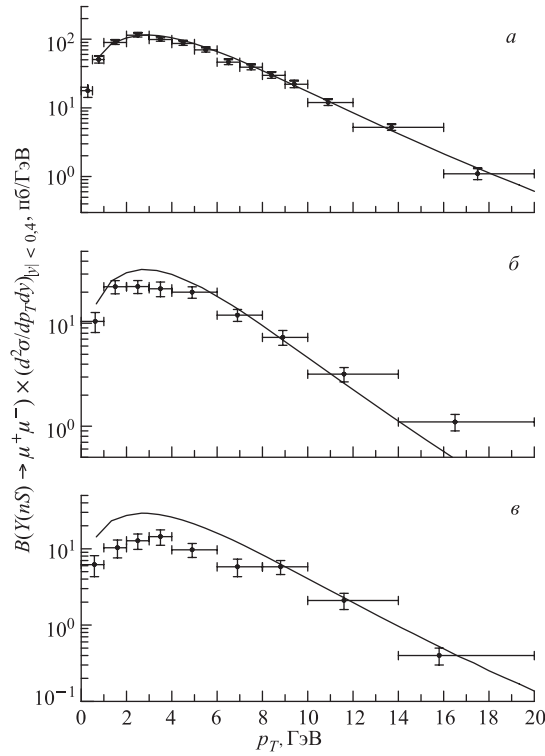


Рис. 13. Дважды дифференциальный спектр рождения  $\Upsilon(nS)$ -мезонов по поперечному импульсу ( $p_T$ ) и усредненный по быстроте ( $|y| < 0,4$ ) при  $\sqrt{s} = 1,8$  ТэВ на коллайдере тэватрон [3]: а) расчеты в КМРК при использовании неинтегрированной функции распределения глюонов в протоне КМР [29] и при учете вклада от распадов  $\chi_{bJ}(3P)$  при суммарном рождении  $\Upsilon(1S)$ ; б) то же для  $\Upsilon(2S)$ ; в) то же для  $\Upsilon(3S)$ .  $B(\Upsilon(nS) \rightarrow \mu^+\mu^-)$  — относительная вероятность распада  $\Upsilon(nS) \rightarrow \mu^+\mu^-$

с ожидаемым в НРКХД поведением октетных НМЭ в зависимости от относительной скорости тяжелых кварков в кварконии:  $v^2 \simeq 0,1$  для боттомониев и  $v^2 \simeq 0,3$  для чармониев. Напротив, в КПМ вклад октетного механизма рождения является основным для всех  $\Upsilon(nS)$ -мезонов. Как и для чармониев, в КПМ, в принципе, невозможно описать  $p_T$ -спектры боттомониев в области малых поперечных импульсов в лидирующем порядке по  $\alpha_s$  и разделить вклады НМЭ  $\langle \mathcal{O}^{\mathcal{H}}[{}^1S_0^{(8)}] \rangle$  и  $\langle \mathcal{O}^{\mathcal{H}}[{}^3P_0^{(8)}] \rangle$ .

Необходимо заметить, что мы не учитывали гипотетический вклад в спектры  $\Upsilon(nS)$ -мезонов от распадов  $\chi_{bJ}(3P)$ -мезонов, которые еще не обнару-

Таблица 3. Вероятности переходов между различными состояниями боттомония с учетом всех возможных каскадных процессов

Начальное состояние	Конечное состояние								
	$\Upsilon(3S)$	$\chi_{b2}(2P)$	$\chi_{b1}(2P)$	$\chi_{b0}(2P)$	$\Upsilon(2S)$	$\chi_{b2}(1P)$	$\chi_{b1}(1P)$	$\chi_{b0}(1P)$	$\Upsilon(1S)$
$\Upsilon(3S)$	1	0,114	0,113	0,054	0,106	0,007208	0,00742	0,004028	0,102171
$\chi_{b2}(2P)$	—	1	—	—	0,162	0,011016	0,01134	0,006156	0,129565
$\chi_{b1}(2P)$	—	—	1	—	0,21	0,01428	0,0147	0,00798	0,160917
$\chi_{b0}(2P)$	—	—	—	1	0,046	0,003128	0,00322	0,001748	0,0167195
$\Upsilon(2S)$	—	—	—	—	1	0,068	0,07	0,038	0,319771
$\chi_{b2}(1P)$	—	—	—	—	—	1	—	—	0,22
$\chi_{b1}(1P)$	—	—	—	—	—	—	1	—	0,35
$\chi_{b0}(1P)$	—	—	—	—	—	—	—	1	0,06
$\Upsilon(1S)$	—	—	—	—	—	—	—	—	1

жены и парциальные ширины распада которых неизвестны. Однако синглетный НМЭ  $\langle \mathcal{O}_{\chi_{b0}(3P)}[{}^3P_0^{(1)}] \rangle$  может быть рассчитан в потенциальной кварковой модели:  $\langle \mathcal{O}_{\chi_{b0}(3P)}[{}^3P_0^{(1)}] \rangle = 2,7 \text{ ГэВ}^5$  [22, 31], а парциальные ширины распада  $\chi_{bJ}(3P)$  в  $\Upsilon(1S)$ -,  $\Upsilon(2S)$ - и  $\Upsilon(3S)$ -мезоны можно получить экстраполяцией аналогичных ширин для  $\chi_{bJ}(1P)$ - и  $\chi_{bJ}(2P)$ -мезонов, а именно: принимая, что они равны 12, 9 и 7% для распадов в  $\Upsilon(3S)$ -,  $\Upsilon(2S)$ - и  $\Upsilon(1S)$ -мезоны соответственно. Фит данных с учетом вклада от распадов  $\chi_{bJ}(3P)$ -мезонов показывает, что в этом случае вклад октетного механизма в рождение боттомониев является пренебрежимо малым. В качестве иллюстрации этого на рис. 13 показаны  $p_T$ -спектры  $\Upsilon(nS)$ -мезонов при использовании неинтегрированной функции распределения KMR [29] и с учетом лишь синглетного механизма рождения [21].

Полученный в результате фитирования данных с функцией распределения JS [28] набор октетных НМЭ не позволяет с удовлетворительной достоверностью ( $\chi^2/\text{d.o.f.} = 27$ ) описать данные по спектрам боттомониев, хотя спектры чармониев описывались только немного хуже, чем спектры для функции распределения KMR [29]. Для функции распределения JB [27] ситуация обратная: в отличие от  $p_T$ -спектров чармониев спектры боттомониев описывались удовлетворительно ( $\chi^2/\text{d.o.f.} = 2,9$ ). Функция распределения KMR [29] позволяет одинаково хорошо описать спектры как чармониев ( $\chi^2/\text{d.o.f.} = 3,0$ ), так и боттомониев ( $\chi^2/\text{d.o.f.} = 0,5$ ).

При расчетах использовались следующие значения парциальных ширин распадов [37]:  $B(\Upsilon(3S) \rightarrow \mu^+ + \mu^-) = 0,0181$ ,  $B(\Upsilon(2S) \rightarrow \mu^+ + \mu^-) = 0,0131$ ,  $B(\Upsilon(1S) \rightarrow \mu^+ + \mu^-) = 0,0248$ ,  $B(J/\psi \rightarrow \mu^+ + \mu^-) = 6,01 \cdot 10^{-2}$ ,  $B(\psi' \rightarrow J/\psi + X) = 0,576$ ,  $B(\chi_{c0} \rightarrow J/\psi + \gamma) = 0,012$ ,  $B(\chi_{c1} \rightarrow J/\psi + \gamma) = 0,318$  и  $B(\chi_{c2} \rightarrow J/\psi + \gamma) = 0,203$ . Массы составляющих кварков



$m_c = 1,55$  ГэВ и  $m_b = 4,77$  ГэВ. Инклюзивные вероятности переходов между различными состояниями боттомония с учетом всех возможных каскадов представлены в табл. 3.

## 6. РОЖДЕНИЕ ТЯЖЕЛЫХ КВАРКОНИЕВ НА КОЛЛАЙДЕРЕ LHC

Сравнение значений октетных НМЭ, полученных в КПМ и в подходе КМРК фитированием экспериментальных данных для  $p_T$ -спектров чармониев и боттомониев, показывает их существенную зависимость от выбора подхода. Дополнительным тестом в этом случае может быть сравнение предсказаний, полученных в обсуждаемых подходах, на  $p_T$ -спектры чармониев и боттомониев в других процессах, например, в  $\gamma p$ - или  $e p$ -взаимодействиях на коллайдере HERA или в адронных взаимодействиях при других энер-

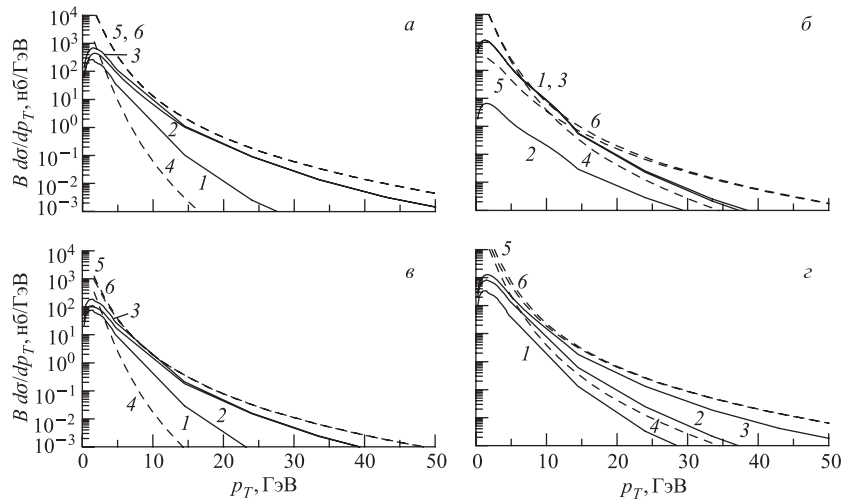


Рис. 14. Спектр рождения  $J/\psi$ -мезонов по поперечному импульсу ( $p_T$ ) при  $\sqrt{S} = 14$  ТэВ и  $|y| < 2,5$  на коллайдере LHC: а) прямые (direct)  $J/\psi$ -мезоны; б)  $J/\psi$ -мезоны от распадов  $\chi_{cJ}$ ; в)  $J/\psi$ -мезоны от распадов  $\psi'$ ; г) суммарный вклад (prompt) в рождение  $J/\psi$ -мезонов. Кривая 1 — вклад синглетного механизма рождения в подходе КМРК при использовании неколлинеарной функции распределения глюонов в протоне KMR [29]; 2 — вклад октетного механизма; 3 — сумма вкладов 1 и 2. Кривая 4 — вклад синглетного механизма рождения в рамках КПМ с применением функции распределения глюонов в протоне GRV LO [36]; 5 — вклад октетного механизма; 6 — сумма вкладов 4 и 5.  $B$  — относительная вероятность распада  $J/\psi \rightarrow \mu^+ \mu^-$

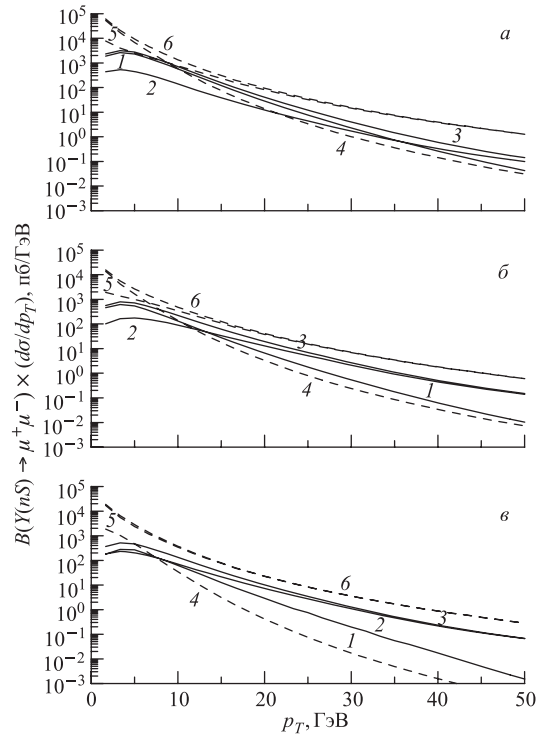


Рис. 15. Спектр рождения  $\Upsilon(nS)$ -мезонов по поперечному импульсу ( $p_T$ ) при  $\sqrt{S} = 14$  ТэВ и  $|y| < 2,5$  на коллайдере LHC: а)  $\Upsilon(1S)$ ; б)  $\Upsilon(2S)$ ; в)  $\Upsilon(3S)$ . Обозначения, как на рис. 14.  $B(\Upsilon(nS) \rightarrow \mu^+\mu^-)$  — относительная вероятность распада  $\Upsilon(nS) \rightarrow \mu^+\mu^-$

гиях. Проверка полученных в подходе КМПК октетных НМЭ при рождении чармониев на коллайдере HERA [38], а также в  $\gamma\gamma$ -взаимодействиях на коллайдере LEP2 [39] была проведена в нашей работе [17]. В данном пункте мы рассматриваем предсказания, полученные в подходе КМПК и КПМ для выхода чармониев и боттомониев на коллайдере LHC при энергии  $\sqrt{S} = 14$  ТэВ.

На рис. 14 и 15 показаны  $p_T$ -спектры чармониев и боттомониев, проинтегрированные по быстрой в интервале  $|y| < 2,5$ . Штриховые кривые — расчеты на основе КПМ, сплошные — расчеты в подходе КМПК. Принимая во внимание, что предсказания КПМ не претендуют на описание экспериментальных данных при малых  $p_T$  в принципе, сравним относительный

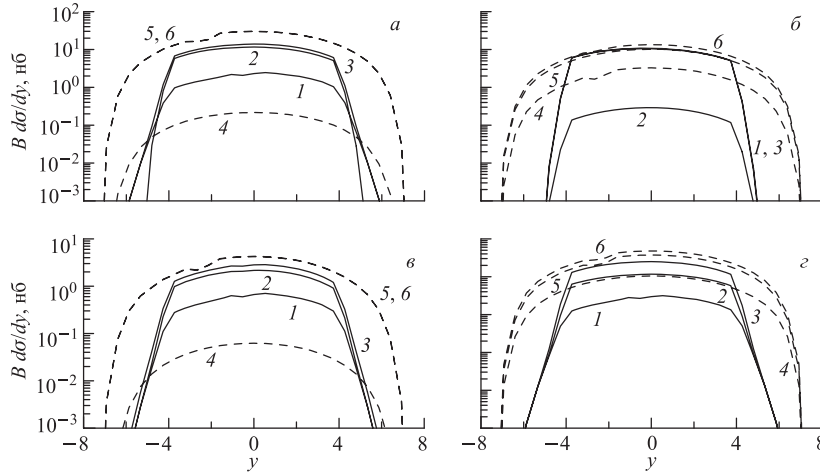


Рис. 16. Спектр рождения  $J/\psi$ -мезонов по быстроте ( $y$ ) при  $\sqrt{S} = 14$  ТэВ и  $7 < p_T < 100$  ГэВ на коллайдере LHC. Обозначения, как на рис. 14

выход тяжелых кваркониев, предсказываемый в обсуждаемых здесь подходах, в области  $p_T > 10$  ГэВ. Ситуация примерно одинаковая для спектров всех частиц. КПМ предсказывает несколько большее значение сечений рождения (фактор  $\sim 2$  для чармониев и фактор  $\sim 4$  для боттомониев), чем подход КМРК. Для чармониев суммарные спектры (кривые 3 и б), полученные в КПМ и КМРК, пересекаются при  $p_T \simeq 10$  ГэВ. Кривые, полученные в КПМ для боттомониев, лежат выше предсказаний КМРК при всех  $p_T$ .

На рис. 16 и 17 показаны  $y$ -спектры чармониев и боттомониев на коллайдере LHC после интегрирования по поперечному импульсу в интервале  $7 < p_T < 100$  ГэВ. Мы видим, что распределения чармониев и боттомониев по быстроте  $y$ , полученные на основе КПМ, немного шире, чем рассчитанные в подходе КМРК. На краю центрального плато по быстроте спектры, полученные в подходе КМРК, спадают гораздо круче, чем спектры, полученные в КПМ. Наблюдаемые эффекты связаны, в первую очередь, с тем, что в подходе КМРК доминирует вклад подпроцессов  $2 \rightarrow 1$ , а в КПМ вклад дают только процессы  $2 \rightarrow 2$ . Рождение дополнительной жесткой струи в партонном подпроцессе приводит к уширению спектров кваркония по быстроте в КПМ по сравнению с подходом КМРК, в котором подпроцесс  $2 \rightarrow 2$  через синглетное промежуточное состояние не является основным.

В заключение отметим, что полученные нами результаты для спектров чармониев и боттомониев в КПМ удовлетворительно согласуются с оценками,

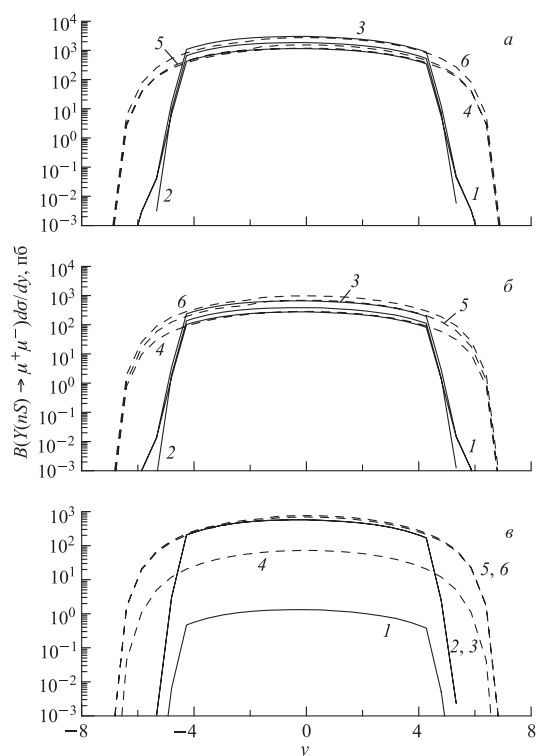


Рис. 17. Спектр рождения  $\Upsilon(nS)$ -мезонов по быстройте ( $y$ ) при  $\sqrt{S} = 14$  ТэВ и  $7 < p_T < 100$  ГэВ. Обозначения, как на рис. 14

полученными ранее в аналогичном подходе в работе [40], и с предсказаниями в рамках фрагментационного приближения [41], а также с предсказаниями монте-карловского моделирования в программе PYTHIA [42].

### ЗАКЛЮЧЕНИЕ

Сравнение предсказаний подхода КМРК и КПМ показывает, что, в отличие от коллинеарного приближения, в подходе КМРК спектры тяжелых кваркониев могут быть описаны при любых значениях  $p_T$ , включая область  $p_T < M$ . Значения октетных НМЭ, полученных при фитировании экспериментальных данных коллаборации CDF в КМРК, значительно меньше, чем аналогичные значения, полученные в КПМ; также меняется и относитель-

ный вес различных НМЭ. В подходе КМРК, в отличие от КПМ,  $p_T$ -спектры  $P$ -волновых чармониев, а также спектры  $\Upsilon(nS)$ -мезонов при учете вклада от распадов  $\chi_{bJ}(3P)$  могут быть описаны в рамках синглетного механизма рождения.

Анализ октетных НМЭ НРКХД для рассмотренных неколлинеарных функций распределения глюонов в протоне показывает, что, во-первых, функция распределения КМР [29] позволяет непротиворечиво фитировать  $p_T$ -спектры чармониев и боттомониев ( $\chi^2/\text{d.o.f.} = 3,0$  и  $0,5$ ); во-вторых, непертурбативные переходы из промежуточного октетного состояния в конечное синглетное приближенно удовлетворяют следующему условию:  $\Delta L \simeq 0$  и  $\Delta S \simeq 0$ , т. е. являются дважды хромозлектрическими и сохраняют спин и орбитальный момент тяжелых кварков, как это и предсказывается принципами спиновой симметрии процессов с участием тяжелых кварков; в-третьих, относительный вклад октетных НМЭ в случае рождения боттомониев существенно меньше, чем в случае рождения чармониев, что также согласуется с предсказанием НРКХД.

Авторы благодарны Б.Книлю, Л.Липатову, Э.Кураеву, О.Теряеву, М.Рыскину и А.Леонидову за интерес к работе и полезные дискуссии. Д.В. благодарит Международный центр теоретической физики в Москве и фонд «Династия» за поддержку.

#### СПИСОК ЛИТЕРАТУРЫ

1. *Abe F. et al. (CDF).  $J/\psi$  and  $\psi(2S)$  Production in  $p\bar{p}$  Collisions at  $\sqrt{s} = 1.8$  TeV // Phys. Rev. Lett. 1997. V. 79. P. 572–577;*  
*Abe F. et al. (CDF). Production of  $J/\psi$  Mesons from  $\chi_c$  Meson Decays in  $p\bar{p}$  Collisions at  $\sqrt{s} = 1.8$  TeV // Ibid. P. 578–583;*  
*Affolder T. et al. (CDF). Measurement of  $J/\psi$  and  $\psi(2S)$  Polarization in  $p\bar{p}$  Collisions at  $\sqrt{s} = 1.8$  TeV // Phys. Rev. Lett. 2000. V. 85. P. 2886–2891.*
2. *Acosta D. et al. (CDF). Measurement of  $J/\psi$  Meson and  $b$ -Hadron Production Cross Section in  $p\bar{p}$  Collisions at  $\sqrt{s} = 1960$  GeV // Phys. Rev. D. 2005. V. 71. P. 032001-1–032001-26.*
3. *Abe F. et al. (CDF).  $\Upsilon$  Production in  $p\bar{p}$  Collisions at  $\sqrt{s} = 1.8$  TeV // Phys. Rev. Lett. 1995. V. 75. P. 4358–4363;*  
*Acosta D. et al. (CDF).  $\Upsilon$  Production and Polarization in  $p\bar{p}$  Collisions at  $\sqrt{s} = 1.8$  TeV // Phys. Rev. Lett. 2002. V. 88. P. 161802-1–161802-6.*
4. *Abazov V.M. et al. (CDF). Measurement of Inclusive Differential Cross Section for  $\Upsilon(1S)$  Production in  $p\bar{p}$  Collisions at  $\sqrt{s} = 1960$  GeV // Phys. Rev. Lett. 2005. V. 94. P. 232001-1–232001-7.*
5. *Sterman G. et al. Handbook of Perturbative QCD: Version 1.0 // Rev. Mod. Phys. 1995. V. 67. P. 157–248.*
6. *Gribov V.N., Lipatov L.N. Deep Inelastic  $ep$  Scattering in Perturbation Theory // Sov. J. Nucl. Phys. 1972. V. 15. P. 438–450 (ЯФ. 1972. Т. 15. С. 781–807);*

- Dokshitzer Yu. A.* Calculation of the Structure Functions for Deep Inelastic Scattering and  $e^+e^-$  Annihilation by Perturbation Theory in Quantum Chromodynamics // *Sov. Phys. JETP*. 1977. V. 46. P. 641–653 (ЖЭТФ. 1977. Т. 73. С. 1216–1240);  
*Altarelli G., Parisi G.* Asymptotic Freedom in Parton Language // *Nucl. Phys. B*. 1977. V. 126. P. 298–318.
7. *Kuraev E. A., Lipatov L. N., Fadin V. S.* Multi-Reggeon Processes in the Yang–Mills Theory // *Sov. Phys. JETP*. 1976. V. 44. P. 443–450 (ЖЭТФ. 1976. Т. 71. С. 840–856);  
*Balitskii Y. I., Lipatov L. N.* The Pomeron Singularity in Quantum Chromodynamics // *Sov. J. Nucl. Phys.* 1978. V. 28. P. 822–829 (ЯФ. 1978. Т. 28, № 12. С. 1597–1611).
  8. *Fadin V. S., Lipatov L. N.* Next-to-Leading Corrections to the BFKL Equation from the Gluon and Quark Production // *Nucl. Phys. B*. 1996. V. 477. P. 767–808.
  9. *Lipatov L. N.* Gauge Invariant Effective Action for High-Energy Processes in QCD // *Nucl. Phys. B*. 1995. V. 452. P. 369–400.
  10. *Antonov E. N. et al.* Feynman Rules for Effective Regge Action // *Nucl. Phys. B*. 2005. V. 721. P. 111–135.
  11. *Bodwin G. T., Braaten E., Lepage G. P.* Rigorous QCD Analysis of Inclusive Annihilation and Production of Heavy Quarkonium // *Phys. Rev. D*. 1995. V. 51. P. 1125–1171;  
Erratum // *Phys. Rev. D*. 1997. V. 55. P. 5853.
  12. *Krämer M.* Quarkonium Production at High-Energy Colliders // *Prog. Part. Nucl. Phys.* 2001. V. 47. P. 141–201.
  13. *Braaten E., Fleming S., Yuan T. C.* Production of Heavy Quarkonium in High-Energy Colliders // *Ann. Rev. Nucl. Part. Sci.* 1998. V. 46. P. 197–235.
  14. *Brambilla N. et al.* Heavy Quarkonium Physics. CERN-2005-005. CERN, 2005. 521 p.
  15. *Hagler P. et al.* Heavy Quark Production as Sensitive Test for an Improved Description of High-Energy Hadron Collisions // *Phys. Rev. D*. 2000. V. 62. P. 071502-1–071502-4;  
*Yuan F., Chao K.-T.* Color Singlet Direct  $J/\psi$  and  $\psi'$  Production at Tevatron in the  $k_T$ -Factorization Approach // *Phys. Rev. D*. 2001. V. 63. P. 034006-1–034006-4;  
*Yuan F., Chao K.-T.* Polarizations of  $J/\psi$  and  $\psi'$  in Hadroproduction at Tevatron in the  $k_T$ -Factorization Approach // *Phys. Rev. Lett.* 2001. V. 87. P. 022002-1–022002-4;  
*Hagler P. et al.* Towards a Solution of the Charmonium Production Controversy:  $k_T$ -Factorization Versus Color Octet Mechanism // *Phys. Rev. Lett.* 2001. V. 86. P. 1446–1449;  
*Baranov S. P.* Highlights from the  $k_T$ -Factorization Approach on the Quarkonium Production Puzzles // *Phys. Rev. D*. 2002. V. 66. P. 114003-1–114003-11;  
*Салеев В. А., Васин Д. В.* Адронное рождение прямых  $J/\psi$ - и  $\psi'$ -мезонов в процессах фрагментации глюонов и  $c$ -кварков при высоких энергиях // *ЯФ*. 2005. Т. 68, № 1. С. 95–105 (Phys. At. Nucl. 2005. V. 68, No 1. P. 94–103).
  16. *Saleev V. A., Vasin D. V.* Direct  $J/\psi$  and  $\psi'$  Hadroproduction via Fragmentation in the Collinear Parton Model and  $k_T$ -Factorization Approach // *Phys. Rev. D*. 2003. V. 68. P. 114013-1–114013-6.
  17. *Kniehl B. A., Saleev V. A., Vasin D. V.* Charmonium Production at High Energy in the  $k_T$ -Factorization Approach // *Phys. Rev. D*. 2006. V. 73. P. 074022-1–074022-18.
  18. *Gribov L. V., Levin E. M., Ryskin M. G.* Semihard Processes in QCD // *Phys. Rep.* 1983. V. 100. P. 1–150;  
*Collins J. C., Ellis R. K.* Heavy Quark Production in Very High-Energy Hadron Collisions // *Nucl. Phys. B*. 1991. V. 360. P. 3–30;  
*Catani S., Ciafaloni M., Hautmann F.* High-Energy Factorization and Small  $x$  Heavy Flavor Production // *Nucl. Phys. B*. 1991. V. 366. P. 135–188.

19. *Jeppe R. et al.* Small  $x$  Phenomenology: Summary and Status // *Eur. Phys. J. C.* 2004. V. 35. P. 67–98.
20. *Fadin V.S., Kotsky M.I., Lipatov L.N.* One-Loop Correction to the BFKL Kernel from Two Gluon Production // *Phys. Lett. B.* 1997. V. 415. P. 97–103;  
*Leonidov A., Ostrovsky D.* Minijet Transverse-Energy Production in the Next-to-Leading Order in Hadron and Nuclear Collisions // *Eur. Phys. J. C.* 1999. V. 11. P. 495–499;  
*Ostrovsky D.* NLO Correction to One Particle Inclusive Production at High-Energies // *Phys. Rev. D.* 2000. V. 62. P. 054028-1–054028-10;  
*Fadin V.S., Kozlov M.G., Reznichenko A.V.* Radiative Corrections to QCD Amplitudes in Quasimulti-Regge Kinematics // *Phys. At. Nucl.* 2004. V. 67. P. 359–375 (*ЯФ.* 2004. Т. 67. С. 377–393).
21. *Berger E.L., Jones D.* Inelastic Photoproduction of  $J/\psi$  and  $\Upsilon$  by Gluons // *Phys. Rev. D.* 1981. V. 23. P. 1521–1530;  
*Baier R., Rückl R.* Hadronic Production of  $J/\psi$  and  $\Upsilon$ : Transverse Momentum Distributions // *Phys. Lett. B.* 1981. V. 102. P. 364–370;  
*Картвелишвили В. Г., Луходед А. К., Слабоститский С. Р.* Рождение  $D$ - и  $\psi$ -мезонов в адронных взаимодействиях // *ЯФ.* 1978. Т. 28. С. 1315–1322 (*Sov. J. Nucl. Phys.* 1978. V. 28. P. 678).
22. *Eichten E.J., Quigg C.* Quarkonium Wave Function at the Origin // *Phys. Rev. D.* 1995. V. 52. P. 1726–1728;  
*Lucha W., Schoberl F.F., Gromes D.* Bound States of Quarks // *Phys. Rep.* 1991. V. 200. P. 127–240.
23. *Maltoni F., Mangano M.L., Petrelli A.* Quarkonium Photoproduction at Next-to-Leading Order // *Nucl. Phys. B.* 1998. V. 519. P. 361–393.
24. *Kühn J.H., Kaplan J., Saftani E. G. O.* Electromagnetic Annihilation of  $e^+e^-$  into Quarkonium States with Even Charge Conjugation // *Nucl. Phys. B.* 1979. V. 157. P. 125–144;  
*Guberina B. et al.* Rare Decays of the  $Z^0$  // *Nucl. Phys. B.* 1980. V. 174. P. 317–334.
25. *Cho P.L., Leibovich A.K.* Color Octet Quarkonia Production // *Phys. Rev. D.* 1996. V. 53. P. 150–162;  
*Cho P.L., Leibovich A.K.* Color Octet Quarkonia Production. 2 // *Ibid.* P. 6203–6217.
26. *Gastmans R., Troost W., Wu T.T.* Cross Sections for Gluon + Gluon  $\rightarrow$  Heavy Quarkonium + Gluon // *Phys. Lett. B.* 1987. V. 184. P. 257–260.
27. *Blumlein J.* On the  $k_T$ -Dependent Gluon Density of the Proton. DESY-95-121. DESY, 1995. 3 p.
28. *Jung H., Salam G.* Hadronic Final State Predictions from CCFM: the Hadron Level Monte Carlo Generator CASCADE // *Eur. Phys. J. C.* 2001. V. 19. P. 351–360.
29. *Kimber M.A., Martin A.D., Ryskin M.G.* Unintegrated Parton Distributions // *Phys. Rev. D.* 2001. V. 63. P. 114027-1–114027-10.
30. *Braaten E., Kniehl B.A., Lee J.* Polarization of Prompt  $J/\psi$  at the Tevatron // *Phys. Rev. D.* 2000. V. 62. P. 094005-1–094005-4.
31. *Braaten E., Fleming S., Leibovich A.K.* Nonrelativistic QCD Analysis of Bottomonium Production at the Fermilab Tevatron // *Phys. Rev. D.* 2001. V. 63. P. 094006-1–094006-12.
32. *Салеев В. А., Васин Д. В.* Адронное рождение тяжелых кваркониев в подходе квазимультиреджевской кинематики // *Вест. СамГУ.* 2005. Т. 40, № 6. С. 126–145.
33. *Amundson J.F. et al.* Quantitative Tests of Color Evaporation: Charmonium Production // *Phys. Lett. B.* 1997. V. 390. P. 323–328.

34. *Berger E. L., Qiu J., Wang Y.* Transverse Momentum Distribution of Upsilon Production in Hadronic Collisions // *Phys. Rev. D.* 2005. V. 71. P. 034007-1–034007-11;  
*Berger E. L., Qiu J., Wang Y.* Upsilon Transverse Momentum at Hadron Colliders // *Intern. J. Mod. Phys. A.* 2005. V. 20. P. 3753–3755.
35. *Kniehl B. A., Saleev V. A., Vasin D. V.* Bottomonium Production in the Regge Limit of QCD // *Phys. Rev. D.* 2006. V. 74. P. 014024-1–014024-9.
36. *Gluck M., Reya E., Vogt A.* Dynamical Parton Distributions of the Proton and Small  $x$  Physics // *Z. Phys. C.* 1995. Bd. 67. S. 433–448.
37. *Eidelman S. et al. (PDG).* Review of Particle Physics. Particle Data Group // *Phys. Lett. B.* 2004. V. 592. P. 1–1109.
38. *Chekanov S. et al. (ZEUS).* Measurements of Inelastic  $J/\psi$  and  $\psi'$  Photoproduction at HERA // *Eur. Phys. J. C.* 2003. V. 27. P. 173–188;  
*Adloff C. et al. (H1).* Inelastic Leptoproduction of  $J/\psi$  Mesons at HERA // *Eur. Phys. J. C.* 2002. V. 25. P. 41–53.
39. *Abdallah J. et al. (DELPHI).* Study of Inclusive  $J/\psi$  Production in Two Photon Collisions at LEP-2 with the DELPHI Detector // *Phys. Lett. B.* 2003. V. 565. P. 76–86.
40. *Vogt R.* Open and Hidden Charm Production at RHIC and LHC // *J. Phys. G.* 2005. V. 31. P. S773–S780.
41. *Sridhar K.* Charmonium Production at the LHC // *Mod. Phys. Lett. A.* 1996. V. 11. P. 1555–1562.
42. *Sanchis-Lozano M. A.* Charmonium Production at the Tevatron, HERA and LHC // *Nucl. Phys. Proc. Suppl. B.* 1999. V. 75. P. 191–194;  
*Domenech J. L., Sanchis-Lozano M. A.* Bottomonium Production at the Tevatron and LHC // *Phys. Lett. B.* 2000. V. 476. P. 65–72.